

Inventaires archéologiques (2018) Remplacement du pont de la rivière à la Patate Est (P-0891) et de la rivière à la Patate Ouest (P-08910) sur la route Transanticostienne (55000). L'Île d'Anticosti, Québec

Direction générale de la Côte-Nord



Juillet 2019



Inventaires archéologiques (2018) Remplacement du pont de la rivière à la Patate Est (P-0891) et de la rivière à la Patate Ouest (P-08910) sur la route Transanticostienne (55000). L'Île d'Anticosti, Québec

Direction générale de la Côte-Nord

Rapport de recherche archéologique préparé par :

Isabelle Duval, archéologue (N° de permis de recherche archéologique au Québec : 18-MINT-02)

Ministère des Transports

Direction de l'environnement
Direction générale de la gestion des projets routiers et de l'encadrement en exploitation
800, place D'Youville, 11e étage
Québec (Québec) G1R 3P4

Juillet 2019

Résumé

La direction générale territoriale de la Côte-Nord du ministère des Transports (MTQ) a prévu réaliser d'importants travaux routiers dans le cadre du programme de réfection des approches et modification du tracé de la route Transanticostienne (route 55000) lors de la construction des ponts P-19413 et P-19414 au-dessus de la rivière à la Patate (projets 154-13-0032 et 154-13-0033) au kilomètre 123 sur l'Île d'Anticosti. Afin de prévenir les impacts sur le patrimoine archéologique lors des travaux projetés et de prévenir les découvertes fortuites en cours de travaux, une équipe d'archéologues du MTQ, composée d'une responsable d'intervention et d'un technicien-archéologue, s'est rendue sur le terrain du 3 au 5 juillet 2018 afin de réaliser un inventaire archéologique préventif par sondage manuel dans les limites des deux projets routiers (tableau 1).

Projet	Municipalité	Nature des travaux routiers	Type d'intervention	Superficie (m²)	Nombre de sondages réalisés	Date de réalisation	Résultat
154-13-0032 et 154-13- 0032	L'Île d'Anticosti	Reconstruction de ponts et approches rivière à la Patate Est et Ouest	Inventaire par sondages manuels	16 242	45	3, 4 et 5 juillet 2018	Négatif

Tableau 1 : Sommaire des interventions archéologiques

La zone d'intervention a été divisée en quatre sous- zones d'inventaire et 45 sondages ont été réalisés. En dépit du potentiel archéologique de la zone d'intervention archéologique, les résultats se sont avérés négatifs.

Deux traces d'occupation humaine moderne à contemporaine ont été observées, relevées et interprétées dans la sous-zone 4 d'inventaire. La première est un lieu de bivouac sur une petite terrasse à la jonction des rivières à la Patate Est et Ouest. Les restes d'un feu de camp à la surface du sol sont toujours visibles ainsi qu'un tas de perches de bois sec. Un repère d'arpentage a été trouvé tout près. Deux sections d'un canal de drainage ou de ruissellement naturel ont aussi été identifiées à l'inspection visuelle. Aucun bien ou vestige enfoui n'a été identifié dans cette zone. Selon le peu d'artefacts modernes retrouvés en surface du sol près du foyer et du canal, il est probable que cet endroit ait servi de haltes pour des forestiers, des pêcheurs, des arpenteurs ou des touristes, à partir des années 60 avec l'ouverture du territoire lors de la construction de la route. L'aire de combustion semble encore utilisée sporadiquement de nos jours. La deuxième trace d'occupation humaine est située dans la falaise en érosion du côté ouest du pont actuel de la rivière à la Patate Est. Deux billes de bois rond assemblées en caisson à l'aide de clous tréfilés ont été relevées dans l'approche. Le talus de part et d'autre du pont actuel a été consolidé avec des poches de sable de ciment en 2001 par le MTQ. Le caisson en billes de bois pourrait faire partie de l'ancienne culée du pont de type à claire-voie qui aurait été construit à la fin des années 60. Ce caisson sert maintenant d'armature et de soutènement à l'approche du pont actuel. Par le paysage des abords de routes, on peut déduire l'ancien tracé routier, juste quelques mètres plus au nord de la route actuelle. Considérant le fait que ces deux témoins renseignent sur l'occupation du territoire à partir de 1965, qu'ils ont été utilisés récemment ou sont encore en fonction, qu'ils n'ont aucune couche d'occupation associée, ceux-ci n'ont pas de valeur archéologique, tant du point de vue de la recherche que de la mise en valeur.

Puisqu'aucun site ou bien archéologique n'a été mis au jour dans les limites des projets identifiés, il est recommandé de poursuivre les travaux routiers sans contrainte du point de vue de l'archéologie.

Équipe de réalisation

Ministère des Transports

Direction de l'environnement

Isabelle Duval

Archéologue et responsable de l'intervention

Archéologue chargé d'activité

Recherche documentaire Rédaction et interprétation

Cartographie

Jérôme Hardy

Urbaniste

Archéologue-technicien

Révision

Recherche documentaire

Myriam Cusson

Rédaction

Étudiante en archéologie

Recherche documentaire

Révision

Frank Rochefort

Archéologue

Croquis stratigraphiques

Table des matières

Liste des f	igures	. v
Liste des t	ableaux	vii
1	Introduction	1
2	Localisation générale	1
3	Méthodologie	3
4	État des connaissances en archéologie	3
4.1	Historique des recherches archéologiques antérieures	
4.2	Synthèse du cadre environnemental	
4.3	Synthèse du cadre culturel	11
	4.3.1 Cadre préhistorique	
	4.3.2 Cadre historique	12
5	Compte rendu de la recherche	15
5.1	Projet 154-13-0032 et 154-13-0033. Remplacement des ponts de la rivière à la Patate Est	
	Euest, Route Principale (55000), municipalité de L'Île d'Anticosti	
	5.1.1 Description	
	5.1.2 Résultats	
	5.1.3 Discussion et interprétation	42
6	Conclusion et recommandations	46
7	Bibliographie	47

- ANNEXE 1 Inventaire et catalogue des objets, artéfacts et écofacts
- **ANNEXE 2** Plan de construction
- **ANNEXE 3** Rapports photographiques
- **ANNEXE 4** Notes de terrain

Liste des figures

Figure 1 : Localisation générale des projets de la rivière à la Patate et des sites archéologiques proximité	
Figure 2 : Localisation générale et synthèse des connaissances archéologiques dans les limites de la zon d'étude.	e
Figure 3 : Phare de Pointe-Carleton, Île d'Anticosti, Québec	
Figure 4 : Chalet Patate, à l'embouchure de la rivière à la Patate, Île d'Anticosti, Québec. Source : (Ren	
Bourque (2019)	
Figure 5 : L'épave du « Wilcox », échouée sur le littoral de l'île le 27 juin 1954. MRC de Minganie, Îl d'Anticosti, Pointe Carleton.	
Figure 6 : Le pavillon McDonald en 1974. Source : (René Bourque 2017)	
Figure 7 : Carte des régions physiographiques du Québec (source : IRDA 2019).	
Figure 8 : Géologie des formations en surface de l'Île d'Anticosti (source : Pintal 2018 : 15 et Dubois e coll. 1990)	et
Figure 9: Carte illustrant l'étendue du Parc national d'Anticosti et montrant les limites du projet de l	
rivière à la Patate au nord-ouest de la carte (source : MFFP)	
Figure 10: Localisation de ce qui semble être un portage pour traverser l'île d'Anticosti de la rivièr	e
Patate à la Pointe-Ouest (Extrait de la carte: Saint-Cyr 1888 tiré de Pintal 2018 : 57) 1	1
Figure 11 : Photo des chemins forestiers dans le secteur Patate en 1946 avant le feu de Wickenden d	e
1955 Source : (René Bourque 2017) 1	5
Figure 12 : Localisation générale des limites du projet avec les sous-zones d'inventaire et la topographi Lidar	
Figure 13 : Vue générale des quatre sous-zones d'inventaire et la localisation de chaque sondage 1	8
Figure 14 : Banc d'emprunt au nord à l'extérieur des limites de projet. Projets 154-13-0032 et 154-13	3-
0033 (Photo 154130033_180703_015)	
Figure 15 : Vue générale de l'environnement de la zone 1. Projets 154-13-0032 et 154-13-0033 (Phot 154130033_180703_10615)	
Figure 16 : Vue de la stratigraphie du sondage test#1, zone 1. Projets 154-13-0032 et 154-13-0033 (Phot 154130033_180703_093)	o
Figure 17 : Croquis de la stratigraphie type du sondage test#1, zone 1. Projet 154-13-0032 et 154-13 0033	
Figure 18 : Vue générale des perturbations au nord-ouest de la zone 1. Projets 154-13-0032 et 154-13 0033 (Photo 154130033_180703_104)2	
Figure 19 : Terrasses de la zone 2. Projets 154-13-0032 et 154-13-0033 (Photo 154130033_180703_068).
Figure 20 : Photographie de la stratigraphie du sondage test #2, zone 2. Projet 154-13-032 et 154-13 0033 (Photo : 154130033_180703_075)2	
Figure 21 : Croquis de la stratigraphie type du sondage test#2, zone 2. Projet 154-13-0032 et 154-13	3-
Figure 22 : Vue générale de perturbation au nord-ouest de la zone 2. Projets 154-13-0032 et 154-13	}-
0033 (Photo 154130033_180703_067)2	
Figure 23 : Environnement très escarpé à l'ouest de la zone 2. Projets 154-13-0032 et 154-13-003 (Photo 154130033_180703_06)2	3
Figure 24 : Environnement et perturbations anthropiques de la zone 3, du côté nord du pont,	
l'emplacement des sondages 1 et 2. Projets 154-13-0032 et 154-13-003	3
(Photo 154130033_180703_021)2	О

Figure 25 : Environnement de la zone 3, du côté sud du pont, à l'emplacement des sondages 50 et 51 et
montrant le lit de la rivière. Projets 154-13-0032 et 154-13-0033 (Photo 154130033_180703_021) 27
Figure 26 : Photographie de la stratigraphie du sondage test #3, zone 3, une couche d'incendie et
différents niveaux organiques enfouis. Projets 154-13-032 et 154-13-0033 (Photo:
154130033_180703_020)
Figure 27 : Croquis de la stratigraphie type du sondage test#3, zone 3. Projets 154-13-0032 et 154-13-
003329
Figure 28 : Environnement de la zone 3 et perturbations anthropiques par les remblais routiers à
l'approche est du pont de la rivière à la Patate Est. Projets 154-13-0032 et 154-13-0033
(Photo 154130033_180703_024)
Figure 29 : Environnement et perturbations anthropiques par les remblais routiers du chemin d'accès au
banc d'emprunt au nord de la zone 3. Projets 154-13-0032 et 154-13-0033
(Photo 154130033_180703_032)
Figure 30 : Environnement de la zone 4, du côté nord du pont, à l'emplacement des sondages 3 à 9.
Projets 154-13-0032 et 154-13-0033 (Photo 154130033_180703_035)
Figure 31 : Environnement de la zone 4, du côté sud du pont, à l'emplacement des sondages 52 et 53.
Projets 154-13-0032 et 154-13-0033 (Photo 154130033_180703_025)
Figure 32 : Environnement et inspection des couches de sol dans la paroi du talus d'érosion au nord-
ouest de la zone 4. Projets 154-13-0032 et 154-13-0033 (Photo 154130033_180703_053)
Figure 33 : Détails de la stratigraphie du sondage test #4 dans la zone 4. Projets 154-13-0032 et 154-13-
0033 (Photo 154130033_180703_052)
Figure 34 : Croquis de la stratigraphie type du sondage test#4, zone 4. Projet 154-13-0032 et 154-13-
0033
la zone 4. Projet 154-13-0032 et 154-13-0033
Figure 36 : Détails de l'environnement dans l'ouest de la zone 4 autour du foyer visible en surface du sol,
avec deux cannes de conserve métallique et des restes de bois carbonisés. Projets 154-13-0032 et 154-
13-0033 (Photo 154130033_180703_044)
Figure 37: Détails de l'environnement et des perches de bois secs autour du foyer dans l'ouest de la
zone 4. Projets 154-13-0032 et 154-13-0033 (Photo 154130033_180703_047)
Figure 38: Croquis de la surface du secteur du foyer de la sous-zone 4. Projets 154-13-0032 et 154-13-
0033 (Photo 154130033_180703_047)
Figure 39 : Vue générale de l'expertise archéologique (2 par 1 mètre) afin d'identifier un possible
alignement de pierres pour une rigole ou un petit canal de drainage délimité et creusé en terre (0,15m
de profond), près du feu et des perches de bois en surface, à l'ouest de la zone 4. Un goulot de bouteille
de bière en verre brun de type Stubby date l'utilisation de cet ensemble entre les années 60 et 80.
Projets 154-13-0032 et 154-13-0033 (Photo 154130033_180703_058)
Figure 40 : Détails du canal ou d'un drainage naturel de la terrasse avec une poutre de bois à côté, au
nord de la zone 4. Projets 154-13-0032 et 154-13-0033 (Photo 154130033_180703_049) 38
Figure 41 : Environnement de la zone 4, à l'approche nord-ouest du pont actuel de la rivière à la Patate
Est, à l'emplacement de l'ancienne culée de pont en billes de bois et des sacs de sable de ciment. Projets
154-13-0032 et 154-13-0033 (Photo 154130033_180703_021)
Figure 42 : Vue générale de l'ancienne culée de pont en billes de bois, à l'est de la zone 4, à l'approche
ouest du pont de la rivière à la Patate Est. Projets 154-13-0032 et 154-13-0033 (Photo
154130033_180703_054)
Figure 43 : Vue générale de l'étançonnement contre l'érosion en sac de béton mis aux abords du pont
actuel de la rivière à la patate Est du côté ouest et de l'ancienne culée de pont en bois, à l'est de la zone
4. Projets 154-13-0032 et 154-13-0033 (Photo 154130033_180703_057)

Figure 44 : Croquis du caisson en bois dans l'approche du pont actuel de la rivière à la patate Est, côté ouest, dans l'est de la zone 4. Projets 154-13-0032 et 154-13-0033	10 es 33
Figure 46 : Vue générale de l'ancien tracé routier au nord de la route actuelle, à l'est de la zone Projets 154-13-0032 et 154-13-0033 (Photo 154130033_180703_059)	4. 11 33
Figure 48 : Localisation d'une piste d'avion sur le sommet de la vallée à la jonction des rivières dans à	la
Patate, le long de la route principale, avant le km 123	la
Figure 50 : Extrait de la carte topographique de 1961, 12E10W, qui montre le secteur de la rivière à Patate avant la construction de la route principale. Milieu nord de l'Île d'Anticosti. Source BAr G3400s50C37 12E10W 1961 DCA.	ıQ
Liste des tableaux	
Tableau 1 : Sommaire des interventions archéologiques	4
Tableau 2 : Projets inventoriés	
Tableau 3 : Inventaires archéologiques déjà réalisés dans la zone d'étude	
Tableau 4 : Sites archéologiques connus sur l'île d'Anticosti. (Source : Pintal 2018 :77 et ISAQ)	
Tableau 5 : Chronologie des principales périodes et principaux événements historiques de l'île d'Antico	sti
Tableau 6 : Événements historiques du secteur Patate et environs	
	la

1 Introduction

La direction générale territoriale de la Côte-Nord du ministère des Transports (MTQ) a prévu réaliser d'importants travaux routiers (projets 154-13-0032 et 154-13-0033) dans le cadre du programme de réfection des approches et modifications du tracé de la route Transanticostienne (route 55000) lors de la construction des ponts P-19413 et P-19414 au-dessus de la rivière à la Patate au kilomètre 123 sur l'Île d'Anticosti. Afin de prévenir les impacts sur le patrimoine archéologique lors des travaux projetés et de prévenir les découvertes fortuites en cours de travaux, une équipe d'archéologues interne du MTQ, composée d'une responsable d'intervention et d'un technicien-archéologue, s'est rendue sur le terrain, du 3 au 5 juillet 2018 inclusivement, afin de réaliser un inventaire archéologique préventif dans les limites des deux projets routiers (tableau 1).

Projet Municipalité		Nature des travaux routiers	Type d'intervention	Superficie (m²)
154-13-0032 et 154-13- 0033	L'Île-d'Anticosti	Reconstruction de pont et approches rivière à la Patate Est et Ouest	Inventaire	16 242

Tableau 2 : Projets inventoriés

La construction et l'amélioration d'un chemin multiusage sur les terres du domaine de l'État nécessitent une autorisation du ministère des Forêts, de la Faune et des Parcs (MFFP) en vertu de l'article 41 de la Loi sur l'aménagement durable du territoire forestier.

Les expertises archéologiques prévues avaient pour objectif d'identifier et de protéger le patrimoine archéologique susceptible d'être détruit par les travaux projetés, de prévenir des arrêts de chantiers relatifs aux dispositions prévues par les articles 74 et 76 de la Loi sur le patrimoine culturel (Ch. P-9.002). Les sites archéologiques mis au jour devaient faire l'objet d'une évaluation qualitative et quantitative. Le cas échéant, déterminer quelles expertises complémentaires seraient requises pour permettre la poursuite des travaux tout en assurant la protection des données archéologiques. Enfin, les données récoltées lors du mandat devaient permettre de mieux documenter l'occupation préhistorique et historique du territoire, quel que soit le résultat de l'intervention.

2 Localisation générale

Les projets routiers 154-13-0032 et 154-13-0033 sont situés au kilomètre 123 sur la route Transanticostienne (55000), sur le territoire de la municipalité de l'Île d'Anticosti, dans la municipalité régionale de comté (MRC) de Minganie, faisant partie des circonscriptions électorales provinciales de Duplessis et des régions administratives de la Côte-Nord (9) (Figure 1).

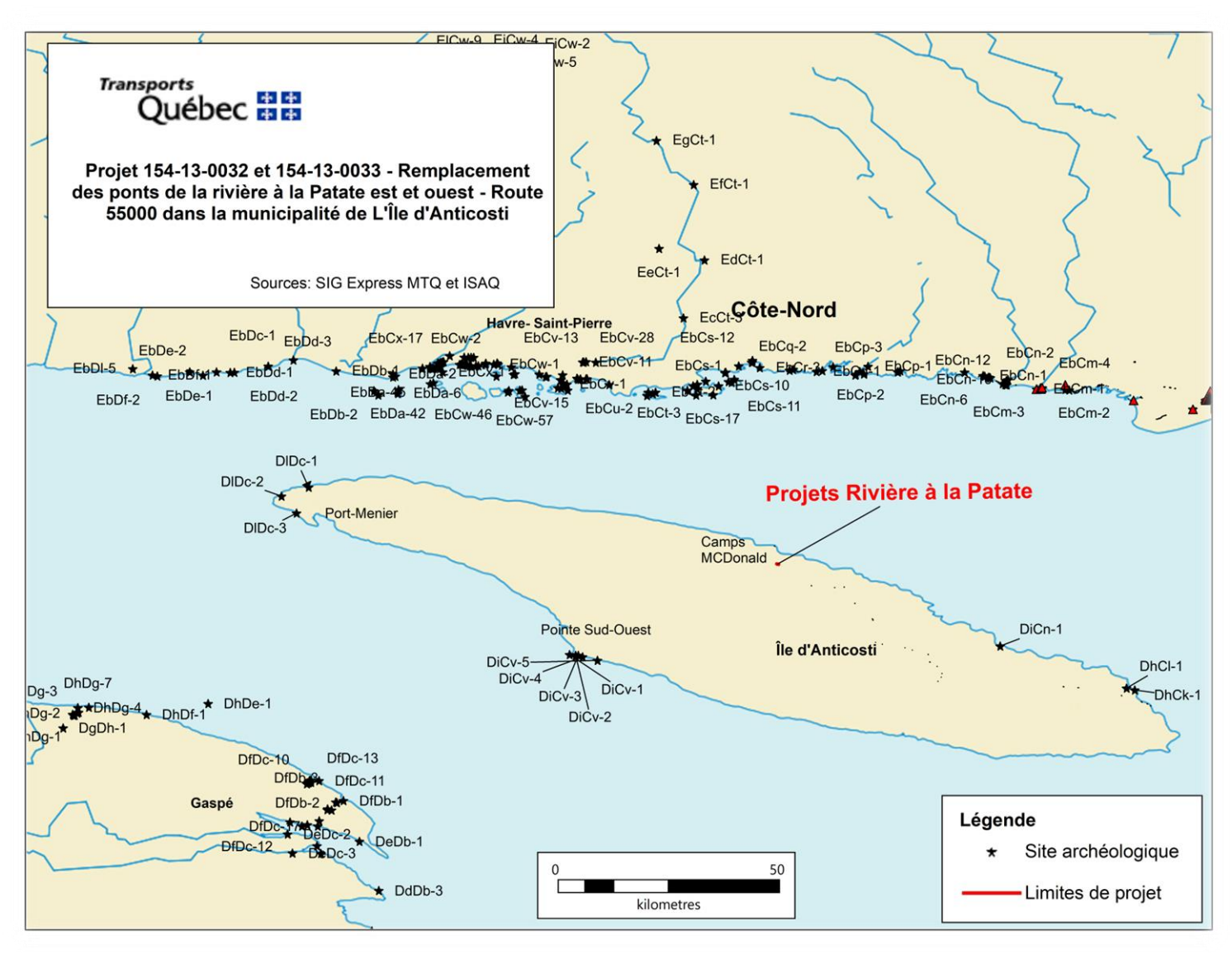


Figure 1 : Localisation générale des projets de la rivière à la Patate et des sites archéologiques à proximité

3 Méthodologie

Les inventaires archéologiques ont été réalisés selon les exigences méthodologiques du MTQ (Annexe II). En résumé, une inspection visuelle systématique de l'ensemble des zones d'interventions archéologiques a d'abord été réalisée afin d'identifier d'éventuels artefacts présents en surface et les secteurs où une intervention archéologique est praticable ou non. Ensuite, un inventaire par sondages archéologiques a été réalisé à tous les 15 mètres approximativement, en quinconce. Le couvert forestier, le relief, la présence d'affleurement rocheux et la présence de perturbation anthropique ont eu un impact sur la répartition systématique des sondages.

Chacun des sondages doit avoir une dimension de 900 centimètres² et atteindre une profondeur de 0,50 mètre lorsque les sols le permettent. En cas de découverte, des sondages aux 3 à 5 mètres doivent être réalisés autour du sondage positif. Le cas échéant, ces sondages rapprochés doivent être excavés à la pelle et le contenu des sols vérifié à la truelle. En cas de découverte, les sols doivent être tamisés.

L'enregistrement des données recueillies au cours de l'intervention comprend la prise de photographies en format numérique des secteurs expertisés et la prise de notes. Un relevé photographique détaillé ainsi qu'une localisation en plan de vestiges mis au jour (le cas échéant) doivent être réalisés au moyen d'un système de positionnement global (GPS). Cet appareil doit aussi servir à enregistrer les coordonnées géographiques de chaque découverte archéologique ainsi que celles des sondages positifs et négatifs en périphérie de ceux-ci. En cas de découverte historique, l'enregistrement doit se faire selon les normes en archéologie historique et selon le système Tikal.

En toute circonstance, les mesures nécessaires pour assurer la préservation à court et moyen terme des biens archéologiques et des échantillons sont prévues. Le cas échéant, le guide *L'archéologue et la conservation, Vade-mecum québécois* sert de référence et au besoin, le Centre de conservation du Québec (CCQ) est contacté afin d'établir la méthodologie appropriée pour assurer cette préservation.

4 État des connaissances en archéologie

4.1 Historique des recherches archéologiques antérieures

Dans le cadre des présents projets de réfection des approches et modifications du tracé de la route Transanticostienne (route 55000) lors de la construction des ponts P-19413 et P-19414 au-dessus de la rivière à la Patate (projets 154-13-0032 et 154-13-0033) au Kilomètre 123,6, sur toute l'Île d'Anticosti, une zone d'étude théorique de 8 km de rayon de part et d'autre du projet a été définie (Figure 2).

Une récente étude de potentiel archéologique a été faite pour l'entièreté de l'Île d'Anticosti (Pintal 2018). Dans le secteur de la Baie de la rivière à la Patate, une zone à potentiel préhistorique a été identifiée (zone 25, Pintal 2018: 84). Aucune zone à potentiel n'a été identifiée dans les limites exactes du projet, c'est-à-dire à la jonction des rivières à la Patate Est et Ouest (Pintal 2018). Toutefois, considérant le vaste territoire couvert par l'étude et le fait que l'étude de Pintal (2018) n'ait pas été réalisée spécifiquement pour les limites des projets, cette étude ne permet pas d'exclure qu'il ne puisse y avoir du potentiel archéologique dans ce secteur.

Le répertoire de l'ISAQ indique que quatre inventaires archéologiques ont déjà été réalisés à l'intérieur de la zone d'étude (Tableau 3, Figure 2). De ceux-ci, aucun inventaire ne recoupe les limites des projets sur la rivière à la Patate. La consultation du registre de l'ISAQ indique qu'aucun site archéologique n'est actuellement connu à l'intérieur de la zone d'étude, mais que onze sites archéologiques sont connus sur l'île d'Anticosti (Tableau 4, Figure 1). Aucun des sites archéologiques connus n'est localisé dans les limites des zones d'étude. Ces sites témoignent de l'occupation préhistorique et historique sur l'île et la plupart sont indéterminés, sauf en ce qui a trait à la période euroquébecoise qui témoigne de l'établissement de pêcheurs et d'habitants sur l'île au 19^e et 20^e siècle.

Référence ISAQ	Localisation	Distance du projet (km)	Résultat	
Patrimoine Experts 2003f	Inventaire de ponceau le long de la route principale pour le MTQ	7.48	Négatif	
Patrimoine Experts 2003f	Inventaire de ponceau le long de la route principale pour le MTQ	6.32	Négatif	
Groison Dominique 1975 :32	Reconnaissance et inventaire : de l'embouchure de la rivière à la Patate et du littoral.	3.52	Négatif	
Tuck James A. 1972	Reconnaissance : Upper Patato River above the bridges	Inconnue	Négatif. Mention des emplacements de camping près de la rivière à la Patate en 1972.	

Tableau 3 : Inventaires archéologiques déjà réalisés dans la zone d'étude



Figure 2 : Localisation générale et synthèse des connaissances archéologiques dans les limites de la zone d'étude.

Code Borden	Appartenance culturelle	Fonction du site	Localisation	Références (MCC)
DhCk-a	Euroquébecois 1800-1899, 1900-1950	Cimetière	Baie du Renard	Balac 2002
DhCk-1	Euroquébecois 1800- 1899	Établissements pêcheurs terre- neuviens	Baie du Renard	Genêt 1983 Salaün 1984
DhCl-1	Euroquébecois 1900- 1950	Homarderie Menier	Baie du Renard	Genêt 1983 Salaün 1984
DhCl-2 Pas retenu à l'ISAQ	Euroquébecois, 1800- 1899	Établissements Pêcheurs terre- neuviens, poste de télégraphe	Baie du Renard	Genêt 1983 Salaün 1984
DiCn-1	Amérindien préhistorique indéterminé (12 000 à 450 AA)	Ind.	Rivière au Saumon	Groison 1975a Groison 1975
DiCv-1	Amérindien préhistorique indéterminé (12 000 à 450 AA)	Ind.	Southwest Point	Kidder et Tuck 1972 Groison 1975a Groison 1975a
DiCv-2	Amérindien préhistorique indéterminé (12 000 à 450 AA)	Ind.	Gibbon's Cove I	Kidder et Tuck 1972 Groison 1975
DiCv-3	Amérindien préhistorique indéterminé (12 000 à 450 AA)	Ind.	Gibbon's Cove II	Kidder et Tuck 1972 Groison 1975
DiCv-4	Amérindien préhistorique indéterminé (12 000 à 450 AA)	Ind.	Gibbon's Cove III	Kidder et Tuck 1972 Groison 1975
DiCv-5	Amérindien préhistorique indéterminé (12 000 à 450 AA)	Ind.	Charley Point	Kidder et Tuck 1972 Groison 1975
DIDc-1	Euroquébecois	Ind.	Grand-Ruisseau	Renaud 1975
DIDc-2	Euroquébecois, 1800- 1899, 1900-1950	Four à chaux	Baie–Sainte- Claire	Genêt et Kirjan 1983 Mousseau 1984 Salaün 1985
DIDc-3	Euroquébecois, 1800- 1899, 1900-1950	Ind.	Anse-aux-fraises	Desrosiers et Mousseau 1988
	Euroquébecois 1900- 1950	Ferme Rentilly	Port-Meunier	Groison 1979

Tableau 4 : Sites archéologiques connus sur l'Île d'Anticosti. (Source : Pintal 2018 :77 et ISAQ)

La consultation du *Répertoire du patrimoine culturel du Québec* (RPCQ) du MCC indique qu'aucun bien patrimonial n'est connu à l'intérieur de l'intervention archéologique. Conséquemment, aucun bien patrimonial n'est situé à l'intérieur des zones d'interventions archéologiques définies pour le projet. Le Phare de Pointe-Carleton est répertorié en tant que bien patrimonial immobilier et est situé au nord de la zone d'étude (voir figure 2), bien qu'il se trouve à l'extérieur des limites de la zone d'étude (Figure 3). Celui-ci fut construit entre 1917 et 1919 et avait pour fonction d'aider à la navigation et aux communications et services publics (RPCQ).



Figure 3 : Phare de Pointe-Carleton, Île d'Anticosti, Québec.

D'autres éléments figurent aussi dans le paysage de la zone d'étude, bien qu'ils ne fassent pas partie du *Répertoire du patrimoine culturel du Québec* (RPCQ) du MCC. Parmi ceux-ci, il y a l'épave de Wilcox et les chalets de pêcheurs Patate 1 et 2 de la SÉPAQ (Figure 4) ainsi que le camp McDonald. Ces éléments témoignent de l'occupation du territoire au 19e siècle, en plus de se trouver à proximité de la zone d'intervention.



Figure 4 : Chalet Patate, à l'embouchure de la rivière à la Patate, île d'Anticosti, Québec. Source : (René Bourque (2019).

L'épave de Wilcox se situe près du ruisseau Caplan sur la côte nord de l'île (figure 2). D'abord nommée H.M.C.D, elle sera rebaptisée Wilcox en l'honneur de Frank Wilcox, gérant de la Consolidated Bathurst qui l'acheta en 1946. Il s'agit d'un ancien dragueur de mines construit sur l'île de Vancouver pendant la

Seconde Guerre mondiale (Panneau d'interprétation local de la SÉPAQ). Puisqu'il est construit en bois, cela lui permet de ramasser les mines aimantées que les Allemands avaient laissées stratégiquement derrière eux dans l'océan Pacifique. De ce fait, les mines collaient aux navires dont la coque était en métal, ce qui provoquait inévitablement une explosion. Au moment de son achat en 1946, Wilcox est amené sur l'île d'Anticosti en passant par le canal du Panama. Il veillera au ravitaillement des habitants autour de l'île, ainsi qu'aux gardiens et travailleurs forestiers. Cependant, la navigation hasardeuse causée par des conditions climatiques hostiles contribua au naufrage du Wilcox le 27 juin 1954. Il est depuis laissé à l'abandon (figure 5) (Panneau d'interprétation local de la SÉPAQ).



Figure 5 : L'épave du « Wilcox », échouée sur le littoral de l'île le 27 juin 1954. MRC de Minganie, Île d'Anticosti, Pointe Carleton.

À l'embouchure de la rivière McDonald, une maison et un cimetière sont présents depuis 1845. À cette époque, Angus McDonald habitait cet endroit avant l'arrivée de Menier, où il y mourra en 1898 à l'âge de 89 ans. La figure 6 illustre le pavillon McDonald en juillet 1974. Cette photo montre une penderie à gauche, le camp des guides au centre, la cuisine et le pavillon des chasseurs à droite. D'ailleurs, plusieurs petites modifications ont été apportées au camp dans les années 1980 et début 2000 par la SÉPAQ (Bourque 2017).

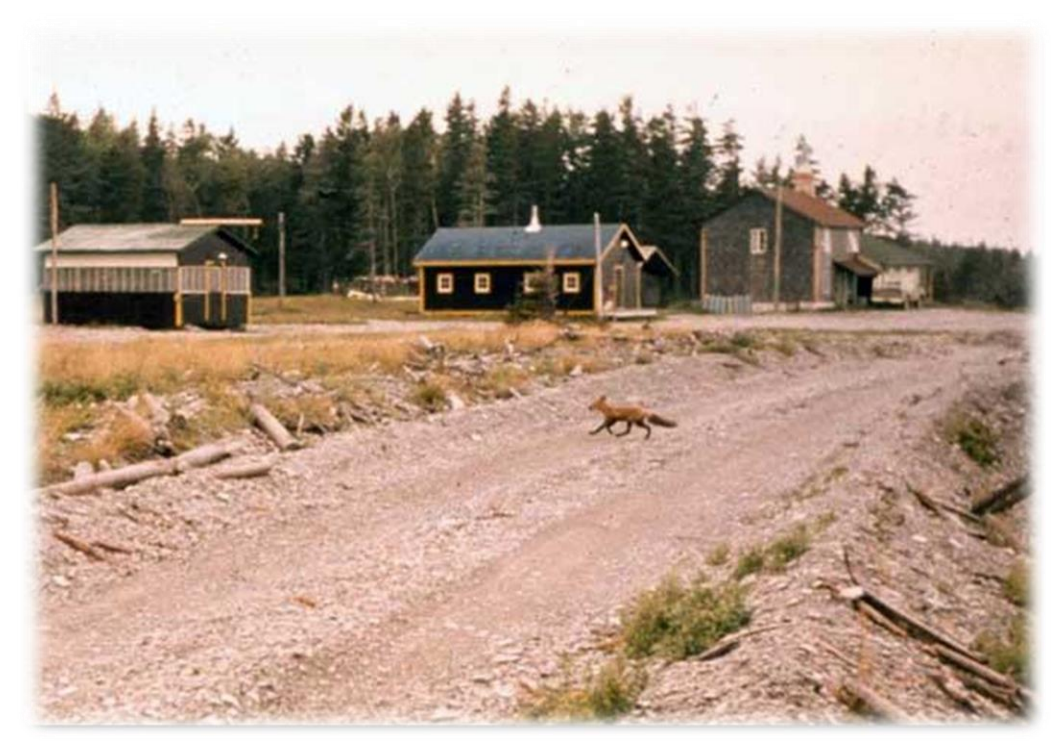


Figure 6 : Le pavillon McDonald en 1974. Source : (René Bourque 2017)

4.2 Synthèse du cadre environnemental

La région à l'étude se situe en Minganie, Côte-Nord dans la région du Québec, au Canada. L'Île d'Anticosti a été recouverte complètement par la calotte glaciaire wisconsinienne lors de la dernière glaciation du Quaternaire. Le territoire étudié aurait été libéré des glaces vers 11 000 AA (Dyke 2005 et Richard et Grondin 2009). Suite à la déglaciation, le biome de la toundra forestière s'installe sur toute la région à l'étude (Dyke 2005). Vers 8000-7500 AA la forêt boréale de conifères s'installe puis évolue pour graduellement devenir similaire à celle d'aujourd'hui vers 6000 AA (Richard et Grondin 2009) soit une sapinière à bouleaux jaunes. Selon les régions physiographiques du Québec (IRDA 2019), l'Île d'Anticosti s'intègre dans les basses-terres du Saint-Laurent (Figure 7). Dans la Baie à la Patate près du littoral, le sol est caractérisé par des sédiments littoraux (graviers sableux, galets et blocs très fossilifères), mais également plus en aval de la rivière par des sédiments deltaïques. Ceux-ci sont composés de graviers sableux stratifiés peu fossilifères pouvant atteindre jusqu'à 0,30 mètre d'épaisseur (Dubois et coll. 1990). La zone d'intervention est aussi composée d'un till de fond (matrice sileuse ou silto-argileuse et galets de dimensions diverses) de calcaire, de schiste argileux et de roches sédimentaires (Figure 8).

Le Parc national d'Anticosti, créé le 26 avril 2001, couvre aujourd'hui plus de 571,8 km² de l'île. Cependant, la zone à l'étude n'en fait pas partie (Figure 9). Non loin de la zone d'étude, la Caverne Patate s'étend sur 500 m, à 120 m d'altitude sur le versant du bras de la rivière à la Patate Est. La caverne s'est développée pendant l'Holocène et est composée de roches calcaires ordoviciennes (Roberge 1985 : 67). Plus de 16 espèces fauniques ont été introduites sous Meunier au cours du 19^e siècle. Parmi celles-ci, il y a le cerf de Virginie, dont la population ne cesse d'augmenter depuis. Plusieurs espèces marines telles les phoques communs et gris sont observables le long des côtes (MFFP).

Les projets routiers à l'étude (154-13-0032 et 154-13-0033) se situent dans l'Île d'Anticosti, à l'intérieur du bassin hydrographique de la rivière à la Patate, qui fait partie de la région hydrographique des Îles du

golfe du Saint-Laurent (Centre d'expertise hydrique du Québec). Les projets sont situés dans une vallée profonde, à la jonction des rivières à la Patate Est et Ouest. La zone d'étude se trouve aux limites intérieures d'un brûlis probablement lié à l'incendie de 1955, dont peu de régénérescence végétale est observée (Roberge 1985 : 67 et Simard 2010 : ii).

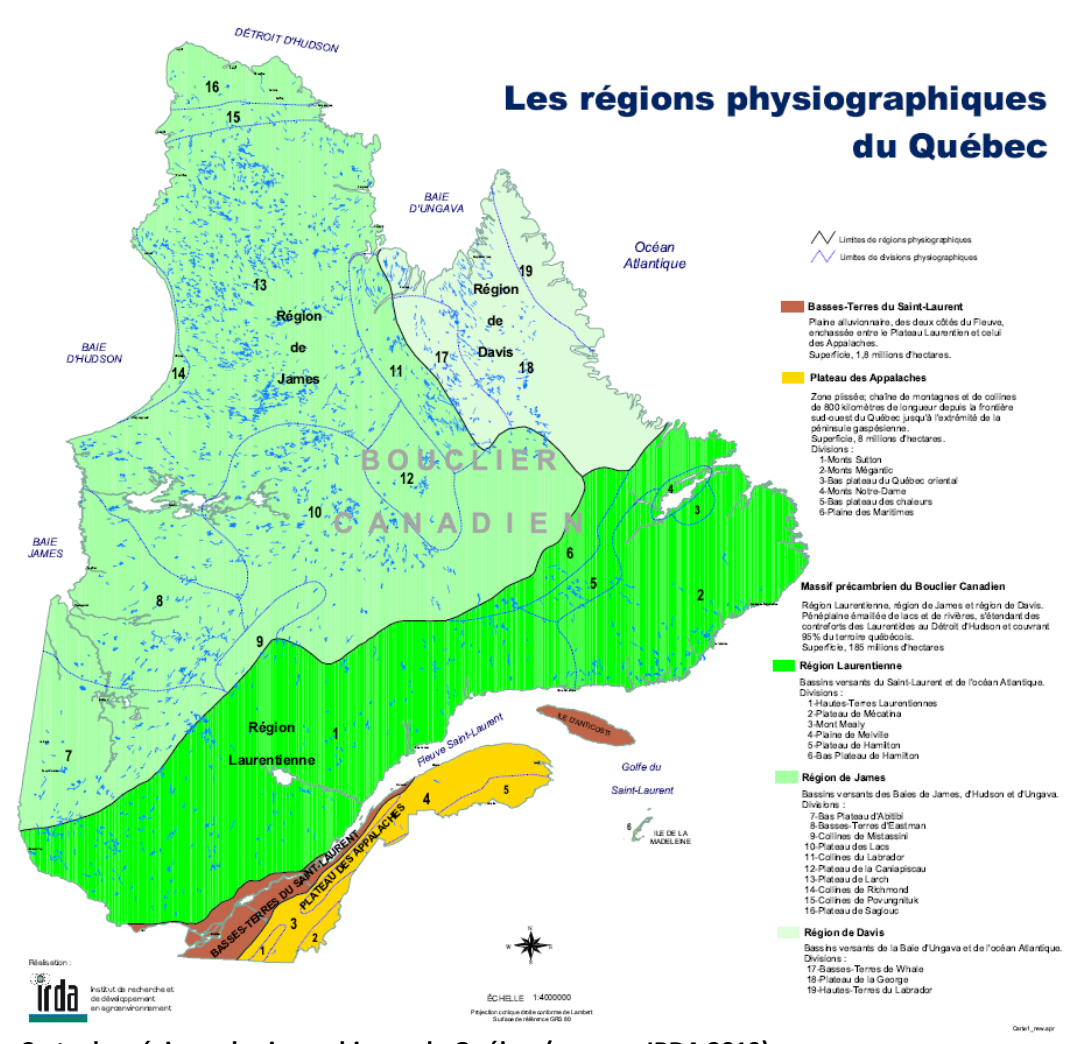


Figure 7 : Carte des régions physiographiques du Québec (source : IRDA 2019).

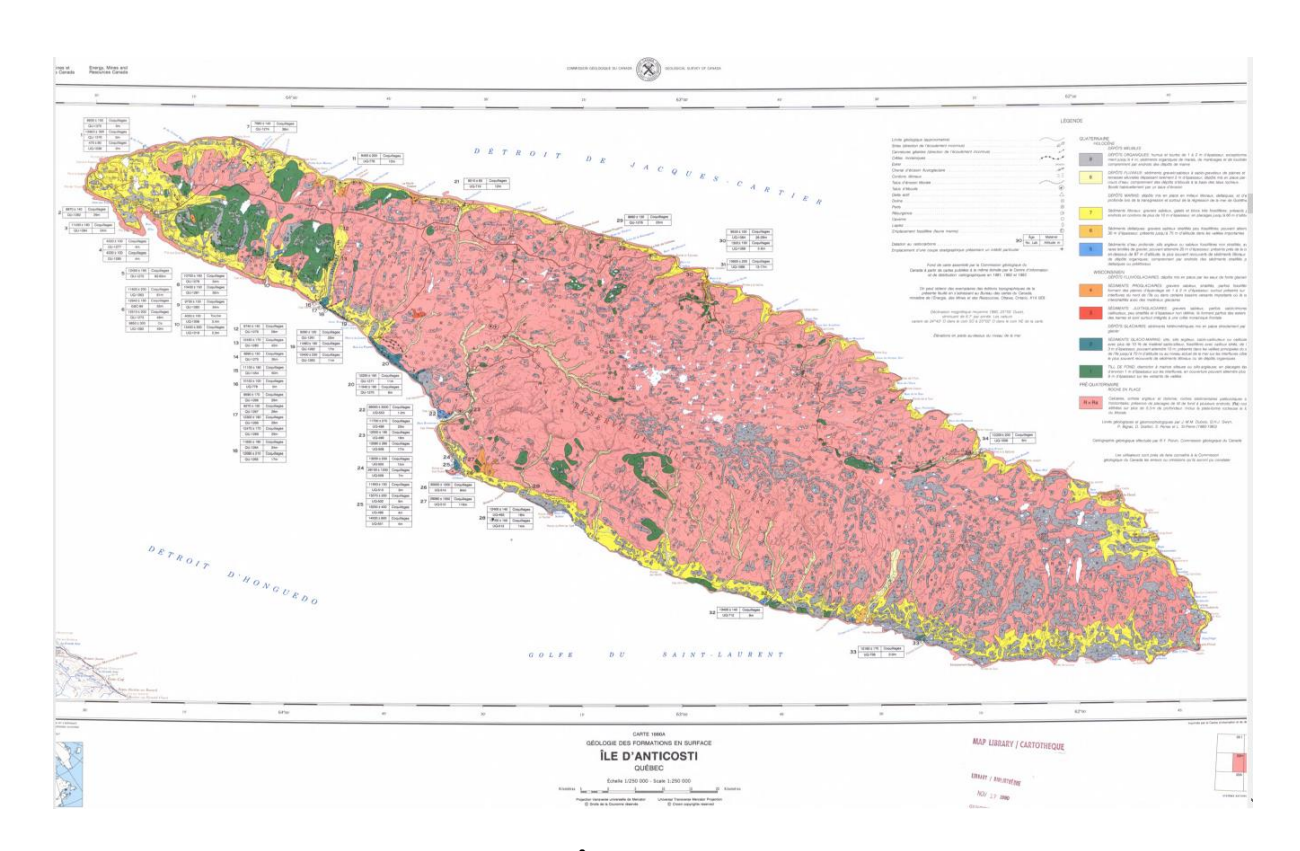


Figure 8 : Géologie des formations en surface de l'Île d'Anticosti (source : Pintal 2018 : 15 et Dubois et coll. 1990).

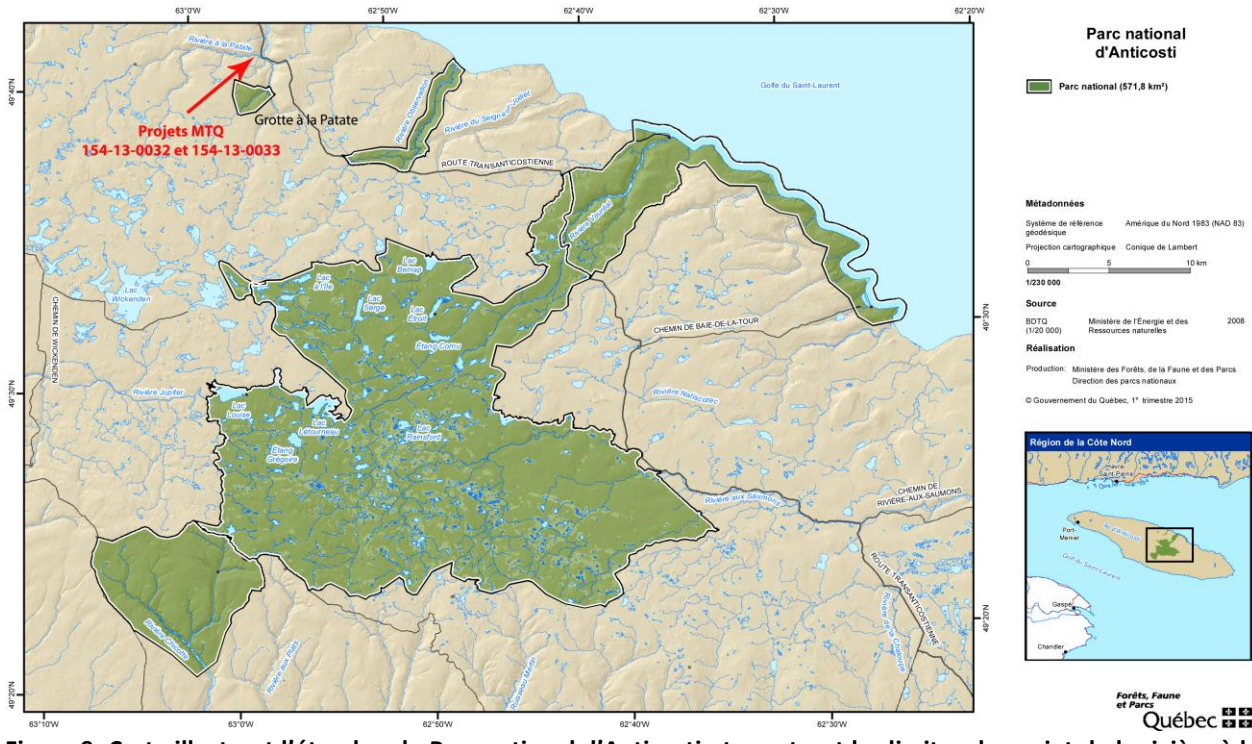


Figure 9: Carte illustrant l'étendue du Parc national d'Anticosti et montrant les limites du projet de la rivière à la Patate au nord-ouest de la carte (source : MFFP)

4.3 Synthèse du cadre culturel

4.3.1 Cadre préhistorique

L'occupation la plus ancienne de l'Île d'Anticosti, selon les données archéologiques actuellement connues, daterait d'environ 3500 ans AA, soit de la fin de la période de l'Archaïque récent (6000 à 3000 ans AA) (Pintal 2018 : 33). Les sites préhistoriques connus se situent sur la rive sud de l'île, dans le secteur de la pointe Sud (Figure 1). L'occupation à la préhistoire de l'île ressemblerait à une fréquentation sporadique pour les ressources animales. Selon Pintal (2018 :35-36), certains sites de l'île présenteraient des similitudes associées aux assemblages de la Côte-Nord et de la Gaspésie de la période du Sylvicole moyen (2400 à 1000 ans AA) et du Sylvicole supérieur (1000 à 500 ans AA). Il semble que l'outillage lithique retrouvé sur les sites par sa morphologie permettrait d'envisager que les groupes présents sur l'Île étaient possiblement originaires de la Côte-Nord (Rochefort 2009 : 1; Pintal 1998f : 6), tandis que la matière première utilisée relierait plutôt les origines aux populations des Maritimes. Aucune céramique amérindienne caractéristique de la période du Sylvicole n'a été jusqu'à présent trouvée sur l'Île d'Anticosti (Pintal 2018 :34). Peu d'informations sont disponibles sur l'ascendance culturelle des populations autochtones présentes sur l'île avant l'arrivée des Européens.

Le poste de traite de Louis Jolliet au 17^e siècle témoignerait d'une fréquentation possible de la part des Autochtones pour des échanges économiques (Rochefort 2009; Groison 1975 et Renaud 1975). Il est tout à fait possible que les groupes autochtones présents sur l'île se soient accostés le long de la côte afin de traverser le territoire pour la chasse et la pêche (Pintal 1998f: 7). Ils auraient donc pu emprunter différents cours d'eau majeurs, tels que la rivière Jupiter, McDonald, Caplan et à la Patate (Figure 10). Somme toute, le cadre préhistorique de l'Île d'Anticosti demeure encore peu connu et nécessiterait d'être documenté davantage.

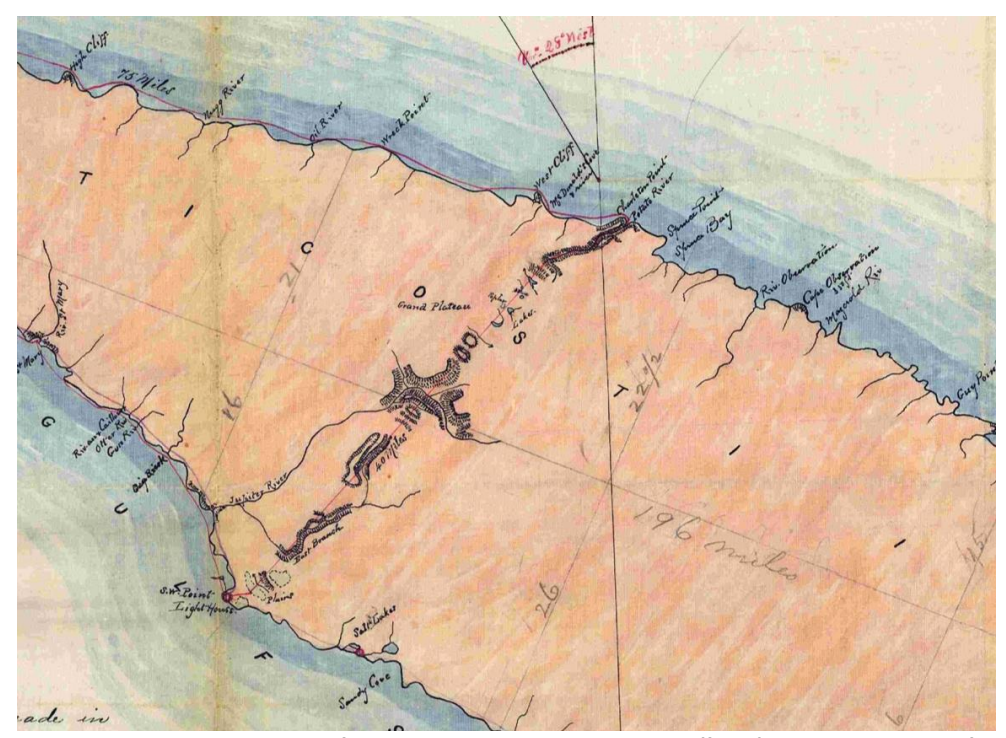


Figure 10: Localisation de ce qui semble être un portage pour traverser l'île d'Anticosti de la rivière Patate à la Pointe-Ouest (Extrait de la carte: Saint-Cyr 1888 tiré de Pintal 2018 : 57).

4.3.2 Cadre historique

Premières présences

Fréquentée par les Amérindiens pour la chasse et la pêche depuis plus de 3000 ans avant d'être aperçue par Jacques Cartier en 1534, l'île d'Anticosti (appelée « Nâtâkwan » par les Montagnais, soit l'endroit où se fait la « chasse à l'ours ») n'a pourtant pas été habitée en permanence avant l'établissement de Louis Jolliet en 1680. Des pêcheurs basques, français et portugais se sont probablement rendus jusqu'aux baies d'Anticosti aux XVIe et XVIIe siècles. Ceux-ci fréquentaient le golfe du Saint-Laurent, bien que la colonisation de l'Île est arrivée plus tard.

Colonisation

Louis Jolliet fut le premier seigneur d'Anticosti et y fit ériger des installations permanentes. En 1680, le roi Louis XIV lui concède l'île en récompense de ses diverses explorations, notamment celles au Mississippi et à la baie d'Hudson. Une fois sur l'île, Jolliet y rencontrera un grand succès dans le commerce du saumon et tiendra une ferme jusqu'en 1690, année où la flotte de Phips brûlera au passage ses installations avant de prendre d'assaut la ville de Québec. Quelques années plus tard, l'île sera partagée entre ses trois fils à son décès en 1700, bien qu'aucun d'eux ne s'efforce d'entreprendre des changements majeurs pour l'île (site de la Municipalité de l'Île-d'Anticosti). Après l'occupation par Louis Jolliet et ses fils, la seigneurie passa entre plusieurs mains. Vers la fin du XIXe siècle, 253 personnes habitaient à l'Île d'Anticosti (en 1891, plus précisément), vivant de la pêche et de l'agriculture (Gilbert 2013: 191). Ils appartenaient à deux groupes; les francophones catholiques originaires du Québec ou de l'Acadie, ainsi que les anglophones majoritairement protestants et provenant de Terre-Neuve. De plus, un des personnages de l'île, Louis-Olivier Gamache, surnommé "Le sorcier d'Anticosti", marque toujours l'imaginaire. Ce dernier s'avère également être un excellent marin et pêcheur, ce qui lui permit de vivre en autarcie pendant plusieurs années. Ce dernier vécut seul à la Baie Ellis (secteur de Port-Meunier aujourd'hui) de 1823 jusqu'à sa mort en 1854. Il est notamment connu pour avoir répandu rumeurs et légendes à son propre sujet lors de ses expéditions afin de faire fuir les visiteurs de l'Île. Depuis, sa réputation de sorcier de l'Île lui est restée fidèle (site de la Municipalité de l'île d'Anticosti). Entre 1763 et 1874, l'Île appartenue tour à tour à Terre-Neuve et au Bas-Canada. Or, pendant cette période, aucun changement significatif ne fut entrepris mis à part la construction de trois phares (de 1831 à 1858). L'Île sera finalement acquise par l'Anticosti Islande Company en 1874. L'Île changera à nouveau de propriétaire en 1884, en devenant la propriété des Frères Stockwell qui exploiteront, dès 1886, une compagnie forestière avant de fermer cinq ans plus tard seulement (site de la Municipalité de l'Îled'Anticosti). Les francophones habitaient principalement dans le hameau de l'Anse-aux-Fraises alors que les anglophones résidaient surtout à English Bay (rebaptisée Baie Sainte-Claire) lors de l'acquisition de l'Île par Menier en 1896. Après être devenu l'unique propriétaire de l'Île d'Anticosti, Menier organisa et réaménagea Baie Sainte-Claire puis décida, en 1899, de l'abandonner au profit de la création d'un nouveau village à Baie-Ellis (rebaptisé Port-Menier en 1921), pour des raisons portuaires. En 1901, la population de l'Île avait presque doublée (442) par rapport à l'administration des Stockwell, dix ans plus tôt (Gilbert 2013:191). Grand amateur de chasse, Menier investit de 1895 à 1913 dans la transformation de l'Île en territoire de chasse. Georges-Martin Zédé, le directeur de l'Île, tente d'introduire une vingtaine d'espèces animales, dont le cerf de Virginie, le wapiti et le bison, ce qui permet d'accroître et diversifier les espèces sur l'Île. D'ailleurs, le cerf correspond toujours à l'une des richesses fauniques de l'île (Radio Canda 2017 et site de la Municipalité de l'île-d'Anticosti). Outre la chasse et la pêche sportive et commerciale, Anticosti développa également la coupe de bois, l'agriculture, ainsi que l'industrie du homard, sous les Menier et Zédé (Radio Canada 2017). Ces derniers firent également construire une impressionnante villa, deux villages, un chemin de fer de 50 km et la plus grande jetée au Canada.

L'exploitation forestière

La première période d'exploitation forestière intensive eut lieu à l'époque des Menier, de 1908 à 1918. Avant et après la Grande dépression, soit entre 1926 et 1930 puis entre 1946 et 1971, la vocation d'Anticosti est essentiellement forestière. Dès la première année d'exploitation industrielle de la seconde période, soit en 1926, 1500 bûcherons débarquent à Port-Menier, entraînant la construction de plusieurs habitations (Lejeune et Dion 1989: 25). Presque autant d'hommes seront embauchés en 1946 (Figure 12). Lorsque la Consolidated Bathurst Inc. vend l'Île au gouvernement du Québec en 1974, l'exploitation forestière peu rentable en est la cause, considérant que la compagnie avait sous sa responsabilité l'entretien entier de l'Île (Lejeune et Dion 1989 : 26).

20^e siècle

Peu de pêcheurs et chasseurs viennent à l'Île pendant les périodes intensives d'exploitation forestière en raison du coût prohibitif. Toutefois, pendant les années de la crise économique entre 1930 et 1946, les expéditions de pêche et les activités touristiques permettent de maintenir l'économie de l'Île. Entre 1926 et 1974, la chasse est quant à elle réservée aux quelques gardes-chasse de l'Île, qui s'avère profitable pour la vente de fourrures. Le récréotourisme reprend davantage son essor après l'acquisition de l'Île par l'État. Lors du rachat de l'Île par le gouvernement du Québec en 1974, l'économie est presque exclusivement basée sur l'exploitation forestière et la population était d'environ 300 habitants (Radio-Canada 2017). Pendant les années qui suivent, c'est-à-dire de 1974 à 1983, la gestion de l'Île d'Anticosti repose sur le ministère du Loisir, de la Chasse et de la Pêche. Puis en 1982, l'État cède des installations résidentielles et commerciales aux habitants de l'Île, ce qui permet d'ouvrir l'Île à ceux qui veulent bien s'y installer (Radio Canada 2017). Le premier conseil municipal est assermenté le 31 janvier 1984 et le territoire est divisé en pourvoiries. Le parc national d'Anticosti est créé en 2001. L'exploitation par les compagnies pétrolières, au début des années 60, a permis d'ouvrir et de prolonger des routes donnant notamment accès à la rivière Patate (Lejeune et Dion 1989: 131-132). Des forages pour l'exploration de pétrole et de gaz ont été faits à la rivière Patate (Lejeune et Dion 1989: 132).

Le tableau 5 résume les principaux événements et faits historiques de l'Île d'Anticosti tandis que le tableau 6 est spécifique au secteur de la rivière à la Patate.

Date/période	Événement/fait historique
1534	Première exploration de l'Île par un Européen avec compte rendu : Cartier
1535	Appellation de l'Isle de l'Assomption donnée par Cartier
1542	Appellation de l'Isle de l'Ascension donnée par Roberval
1587	Appellation de l'Île de Naticousti donnée par les Autochtones de la région
	selon les écrits du cosmographe Thevet (Pintal 2018 : 37)
1603	Appellation de l'Île d'Anticosty donnée par Champlain
1680	Don de l'île en fief et seigneurie à Louis Jolliet par le roi Louis XIV
1680-1725	Exploitation de l'Île par Louis Jolliet et ses fils
1808	Annexion de l'île à Terre-Neuve
1823- 1854	Occupation de Baie Ellis (rebaptisée Baie Gamache) par Louis-Olivier
	Gamache
1825	L'île revient au Bas-Canada en vertu d'une loi britannique.
1874	Acquisition de l'Île par l'Anticosti Islande Company.
1884	L'Île devient l'acquisition des Frères Stockwell qui exploiteront dès 1886

	une compagnie forestière.			
1888	Les frères Stockwell vendent l'Île à la société appelée «The Governor and			
	Company of the Island of Anticosti».			
1889	Vente de 10 sites au gouvernement du Canada qui veut y ériger des			
	phares.			
1895	Suite à la faillite de la société «The Governor and Company of the Island of			
	Anticosti», l'Île est acquise pour 125 000\$ par Henri Menier, richissime			
	chocolatier français dans le but d'en faire un domaine de chasse privé.			
1895-1926	Époque des Menier (Henri et Gaston)/Gestion de l'île par Georges Martin			
	Zédé: transformation de l'Île en territoire de chasse (intégration d'espèces			
	d'animaux)			
1905	Inauguration de la Villa Meunier			
1913	Mort d'Henri Meunier, entraînant un ralentissement du développement			
	économique de l'Île			
1926	Vente de l'île par l'héritier de Henri Meunier (son frère Gaston Menier) à la			
	Wayagamack Pulp & Paper (qui forme ensuite un consortium de trois			
	sociétés canadiennes de pâtes et papier : L'Anticosti Corporation), pour			
1054	6 206 922\$.			
1954	Mise à feu de la Villa Meunier par les responsables de la Consolidated Bathurst			
1926-1971	Période de prospérité économique basée majoritairement sur			
	l'exploitation forestière (succession de compagnies forestières			
	propriétaires de l'Île)			
1967	Le regroupement des papetières Consolidated Pulp and Paper Corporation			
	et Bathurst Paper Company conduit à l'achat de l'île par la compagnie			
	forestière Consolidated Bathurst.			
1974	Rachat de l'île par le gouvernement du Québec à l'entreprise Consolidated			
1002 1002	Bathurst pour 23 780 000\$.			
1982-1983	Intervention de l'État pour l'acquisition de propriétés par les Anticostiens à			
1004	Port-Menier.			
1984	Port-Menier devient une municipalité. Le reste du territoire est divisé en pourvoiries.			
2001	Création du parc national d'Anticosti			
2001	Creation du parc national à Anticosti			

Tableau 5 : Chronologie des principales périodes et principaux événements historiques de l'Île d'Anticosti



Figure 11 : Photo des chemins forestiers dans le secteur Patate en 1946 avant le feu de Wickenden de 1955 Source: (René Bourque 2017)

1965	Construction de la route
1955	Feu de Wickenden
27 juin 1954	Naufrage du Wilcox (bateau ancien balayeur de mines acheté par la
	Consolidated-Bathurst en 1949 pour assurer le service maritime
	entre Gaspé et Port-Menier)
1918	Aménagement du phare de Pointe-Carleton
1870-1900	Occupation de la baie McDonald (par Peter McDonald, pêcheur néo-
	écossais)
1922-2007	Camp de pêche érigé par Gaston Menier sur le site de McDonald en
	1922 et en service jusqu'en 2007

Tableau 6 : Événements historiques du secteur Patate et environs

5 Compte rendu de la recherche

5.1 Projet 154-13-0032 et 154-13-0033. Remplacement des ponts de la rivière à la Patate Est et Ouest, Route Principale (55000), municipalité de L'Île d'Anticosti.

5.1.1 Description

Le projet 154-13-0032- et 154-13-0033 porte sur de travaux de remplacement des ponts de la rivière à la Patate Est (P-08911) et Ouest (P-08910) sur la route Principale Transanticostienne (55000) entre les chaînages 18+276 et 18+285 et 0+090 et 0+108, sur le territoire de la municipalité de L'Île d'Anticosti,

faisant partie de la région administrative de la Côte-Nord (09) (Figure 1). Il s'agit d'un nouvel emplacement pour deux ponts et pour les approches. Un inventaire archéologique par sondages manuels a été réalisé de manière préventive le 3, 4 et 5 juillet 2018 par une équipe de deux archéologues, à la demande de la Direction générale territoriale de la Côte-Nord. La méthodologie standard du MTQ décrite précédemment a été appliquée.

La zone d'intervention archéologique a une longueur totale de 523 mètres et couvre une superficie totale de 16 242 m². Au total, 45 sondages ont été réalisés dans les limites du projet (Tableau 7).

La zone de l'intervention a été sous-divisée en quatre sous-zones (Figure 13). Les zones 1 et 2 sont composées de différents niveaux de terrasses alluviales associées à la rivière à la Patate. Ces terrasses offrent de petits plateaux plats susceptibles d'offrir une surface d'accueil pour l'occupation humaine (Figure 14). Leurs altitudes varient entre 45 et 70 mètres. Ces zones se situent dans un milieu boisé et bien drainé, alors que les zones 1, 3 et 4 sont caractérisées par un relief relativement plat en bordure de la rivière. Le drainage varie de moyen à mauvais avec beaucoup de pierres. L'altitude varie entre 40 et 45 mètres. La végétation est composée d'épinettes et de quelques herbes.

Zone d'intervention archéologique	Environnement	Type de sol	Superficie (m2)	Sondage (nb)	Résultats
1	Lit majeur de la rivière et petites terrasses alluviales escarpées	Sol limono-argileux et graveleux	5 527	12	Négatif
2	Terrasses alluviales anciennes	Podzol dans un sol graveleux-sableux	2 942	17	Négatif
3	Lit majeur de la rivière	Sol limono-argileux et graveleux	1 619	5	Traces d'un incendie
4	Basse terrasse alluviale	Podzol dans un sol graveleux-sableux	6 154	11	Feux de camp moderne et contemporain et caisson en billes de bois dans l'approche du pont réutilisé de l'ancienne culée (post- 1965)
Total			16 242	45	

Tableau 7 : Tableau résumé des sous-zones d'inventaire dans les limites des projets de la rivière à la Patate (154-13-0032 et 154-13-0033).

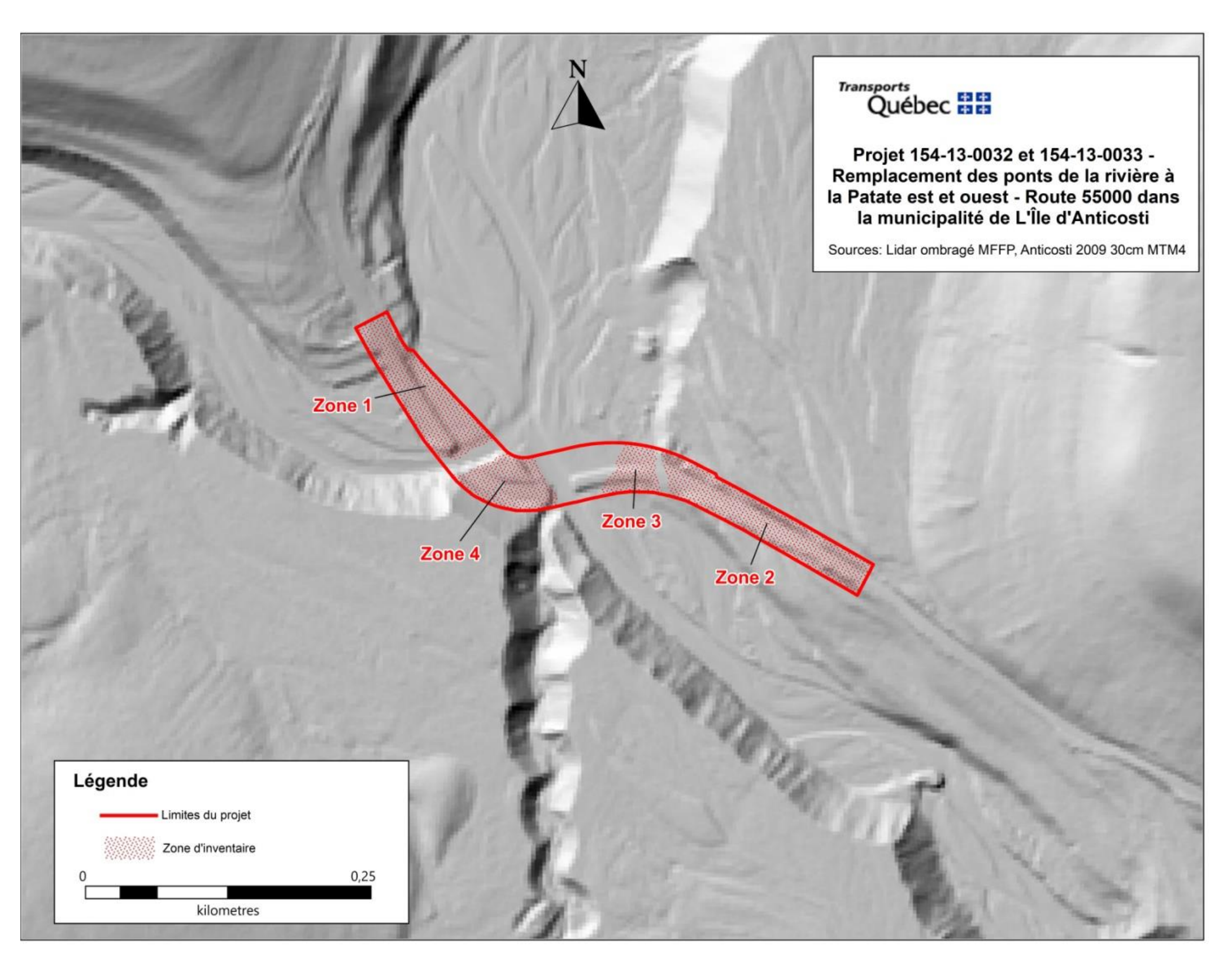


Figure 12 : Localisation générale des limites du projet avec les sous-zones d'inventaire et la topographie Lidar.

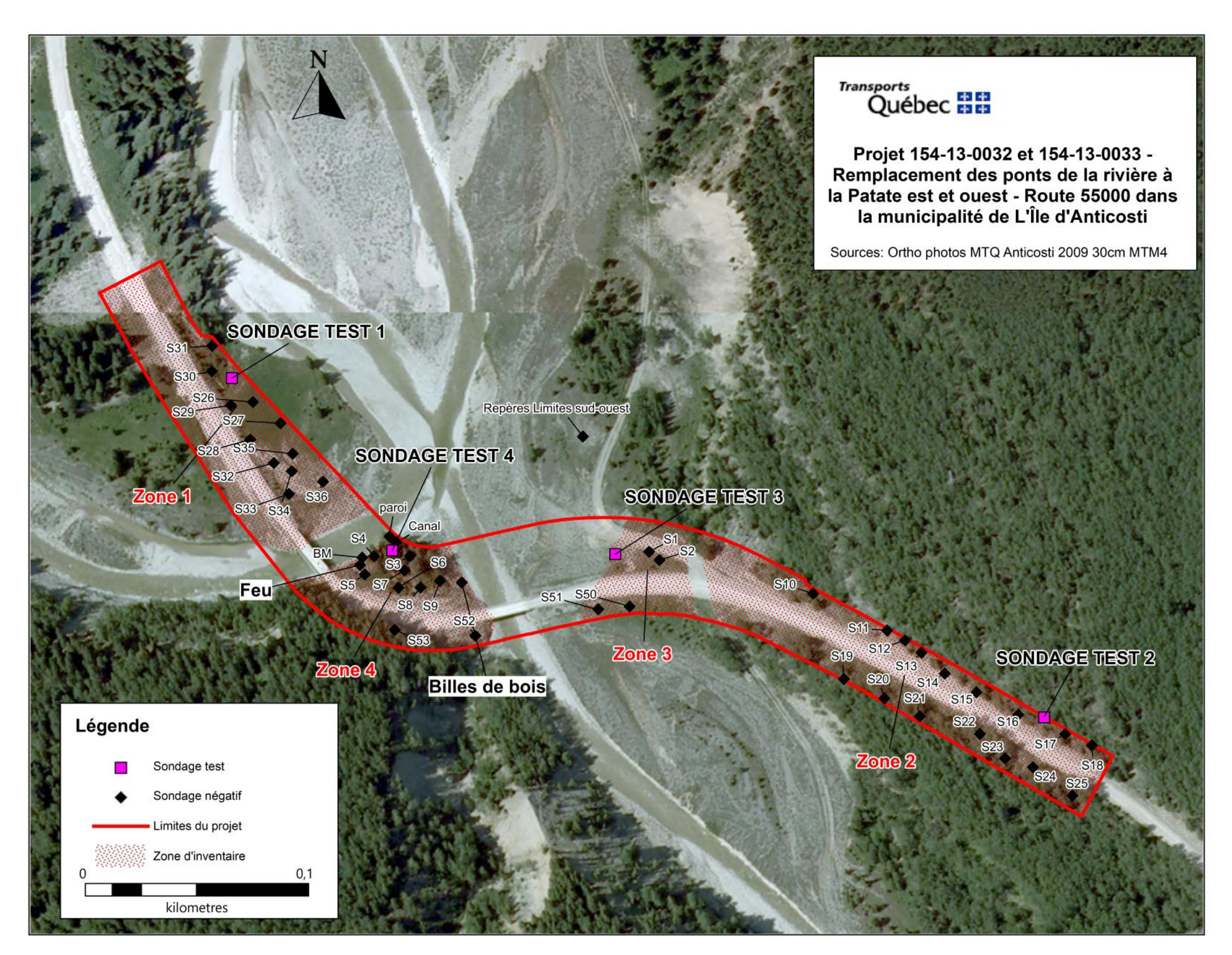


Figure 13 : Vue générale des quatre sous-zones d'inventaire et la localisation de chaque sondage.

Les limites du projet sont traversées par la rivière à la Patate Est et à la Patate Ouest ainsi que par l'actuelle route et son remblai. La limite de projet au sud de la route est étroite et demeure dans l'emprise actuelle, tandis qu'au nord, elle est plus large et le sol y est peu bouleversé. Le déboisement et la construction de la route ont perturbé entièrement les abords de route. De plus, un chemin d'accès pour un banc d'emprunt (Figure 15) est visible au nord de la zone 3 et a perturbé le nord-ouest de la zone 2.



Figure 14 : Banc d'emprunt au nord à l'extérieur des limites de projet. Projets 154-13-0032 et 154-13-0033 (Photo 154130033_180703_015).

5.1.2 Résultats

5.1.2.1 Zone 1

La zone 1 a fait l'objet de 12 sondages, incluant le sondage test #1 (Figure 14, Tableau 7). L'inspection visuelle des limites de projets a permis d'observer les perturbations résultant des aménagements routiers actuels principalement au sud et au nord-ouest de cette zone (Figure 14).

Description de l'environnement

La zone 1 se situe de part et d'autre de la route actuelle et de son remblai. Cette zone se trouve majoritairement dans le lit majeur de la rivière à la Patate Ouest. Le sud-est de la zone est plane avec de hautes herbes, tandis que le nord de la zone est en escalier, composé de petites terrasses alluviales escarpées déboisées (Figure 16).



Figure 15 : Vue générale de l'environnement de la zone 1. Projets 154-13-0032 et 154-13-0033 (Photo 154130033 180703 10615).

Stratigraphie

Les surfaces sondées sont essentiellement caractérisées par la présence de dépôts meubles graveleux plus ou moins bien drainés. Un sondage test #1 (Figure 17 et 18) a été réalisé en bas de la falaise dans le lit de la rivière dans la zone 1.

Les couches de sols observés sont en lien avec le lit de la rivière. La première couche, d'une épaisseur de 0,03 mètre, est composée d'une argile limoneuse brune, moyennement compacte. Elle contient beaucoup de radicelles, puisqu'il s'agit d'une litière organique. La seconde couche, d'une épaisseur de 0,07 mètre, se compose d'argile limoneuse brune, moyennement à peu compacte, avec quelques petits cailloux (0 à 0,01 mètre) et quelques fragments de planches de bois mature organique. Cette couche est associée à un ancien lit de rivière. La troisième couche, d'une épaisseur de 0,50 mètre, est composée d'argile sableuse brun foncé compacte. Elle contient des inclusions allant de 60 à 70 % de pierres calcaires de 0 à 0,25 mètre, dont ces dernières sont triées (sans stratification). La fouille s'est terminée à 0,60 mètre de profondeur car il y avait beaucoup de pierres impossibles à retirer.

Vestiges archéologiques

Aucun vestige ou bien archéologique n'a été identifié dans la zone 1.

Perturbations de la zone

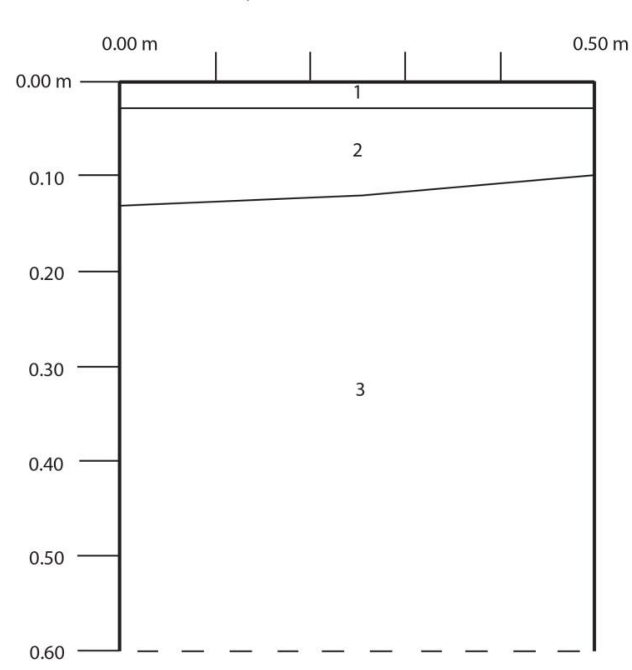
Les perturbations visibles résultent de l'aménagement routier actuel (Figure 19). Elles se situent principalement au sud et au nord-ouest des limites de projet.



Figure 16: Vue de la stratigraphie du sondage test#1, zone 1. Projets 154-13-0032 et 154-13-0033 (Photo 154130033_180703_093).

CROQUIS STRATIGRAPHIQUE: Sondage test #1, Zone 1, Paroi nord N 049° 40.579', W062° 56.325'

Altitude: 32 m, GPS: 3 m d'incertitude



I. Duval, 5 juillet 2018

Couche 1 : (Litière organique) Épaisseur de 3 cm, argile limoneuse brune, moyennement compacte, beaucoup de radicelles.

Couche 2 : (lit de rivière) Épaisseur de 7cm d'argile limoneuse brune moyennement à peu compacte avec quelques petits cailloux (0cm à 1cm) et quelques fragments de planches de bois mature organique.

Couche 3 : (lit de rivière) Épaisseur 50 cm, argile sableuse brune foncée compacte, inclusion de pierres calcaires (60-70%) de 0cm à 25cm, trié (sans stratification). Fin de fouille à 60 cm de profondeur car beaucoup de pierres.

Figure 17 : Croquis de la stratigraphie type du sondage test#1, zone 1. Projet 154-13-0032 et 154-13-0033



Figure 18 : Vue générale des perturbations au nord-ouest de la zone 1. Projets 154-13-0032 et 154-13-0033 (Photo 154130033_180703_104).

5.1.2.2 Zone 2

La zone 2 a fait l'objet de 17 sondages archéologiques incluant le sondage test #2 (Figure 14, Tableau 7). L'inspection visuelle des limites de projets a permis d'observer quelques perturbations résultant des aménagements routiers actuels.

Description de l'environnement

La zone 2 se situe de part et d'autre de la route actuelle et de son remblai. Il s'agit d'une pente en escalier composée de terrasses alluviales boisées et bien drainées (Figure 20).



Figure 19: Terrasses de la zone 2. Projets 154-13-0032 et 154-13-0033 (Photo 154130033_180703_068).

Stratigraphie

Les surfaces sondées sont essentiellement caractérisées par la présence de dépôts meubles bien drainés reposant des tills indifférenciés caractéristiques de podzols forestiers (Figure 21 et 22). Un sondage test a été réalisé sur une haute terrasse alluviale dans la zone 2 (Figure 14).

La première couche, d'une épaisseur de 0,07 mètre, est composée de mousse, d'épines et d'épinettes. Elle est de couleur brun foncé, friable, sans inclusion. Il s'agit de la litière. La seconde couche, d'une épaisseur de 0,01 mètre, est noire, meuble et sans inclusion. Cette couche est associée à un mince horizon organique (Ah). La troisième couche, d'une épaisseur de 0,10 mètre, est composée d'argile limoneuse grise claire, compacte. Elle contient quelques grosses pierres calcaires de 0,05 à 0,15 mètre gris subarrondi. Cette couche ne comporte pas d'inclusion. Elle pourrait être associée à un horizon éluvié (Ae). La quatrième couche, d'une épaisseur de 0,02 mètre, est composée d'argile limoneuse brun orangé, compacte, avec des pierres calcaires de 30 à 60% qui correspond à un horizon B. La dernière couche, d'une épaisseur de 0,30 mètre est composée d'argile brune, compacte à friable, de 60 à 80% de gravier soit de 60 à 80% et de grosses pierres calcaires de 0,05 à 0,25 mètre. Elle peut être associée au till local. La fouille se termine à 0,50 mètre de profondeur, car le sol devenait trop compact avec trop de pierres.

Vestiges archéologiques

Aucun vestige ou bien archéologique n'a été identifié dans la zone 2.

Perturbations

Le sol au sud-ouest de la zone 2 est bosselé et dégarni (Figure 23). Il a été perturbé par de la machinerie. Aussi par endroit, autour du sondage #10, des pentes fortes caractérisent le bord de route (Figure 24).

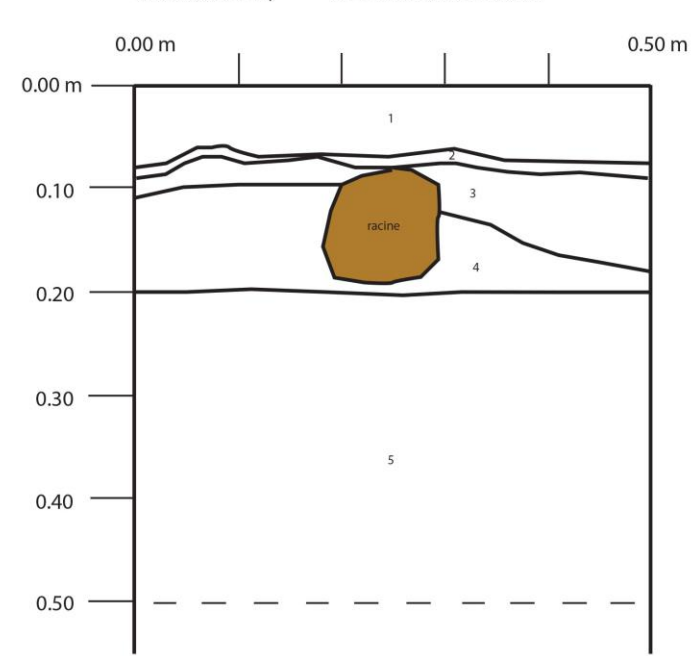


Figure 20 : Photographie de la stratigraphie du sondage test #2, zone 2. Projet 154-13-032 et 154-13-0033 (Photo: 154130033_180703_075).

CROQUIS STRATIGRAPHIQUE: Sondage test #2, Zone 2, Paroi sud

N 049° 40.503',W062° 56.017'

Altitude: 70 m, GPS: 3 m d'incertitude



Couche 1 : (Litière organique) Épaisseur de 7 cm. Couche composée de mousse, d'épines et d'épinettes compactes, couleur brun foncé sans inclusion.

Couche 2 : (Mince Ah organique) Épaisseur de 1 cm. Argile limoneuse de couleur noire, meuble, sans inclusion.

Couche 3 : (Ae) Épaisseur de 10 cm. Argile limoneuse grise claire, compacte, grosses pierres calcaires de 5cm à 15 cm gris subarrondis, sans inclusion.

Couche 4: (B) Épaisseur de 2 cm.

Argile limoneuse brun orangé, compacte, pierres calcaires (30 à 60%).

Couche 5 : (Till) Épaisseur de 30cm. Argile brune, compacte à friable, gravier (60 à 80%) et grosses pierres calcaires de 5cm à 25 cm.

Fin de fouille à 50 cm de profondeur. Trop de pierres.

I. Duval, 4 juillet 2018

Figure 21 : Croquis de la stratigraphie type du sondage test#2, zone 2. Projet 154-13-0032 et 154-13-0033.



Figure 22 : Vue générale de perturbation au nord-ouest de la zone 2. Projets 154-13-0032 et 154-13-0033 (Photo 154130033_180703_067).



Figure 23 : Environnement très escarpé à l'ouest de la zone 2. Projets 154-13-0032 et 154-13-0033 (Photo 154130033_180703_006).

5.1.2.3 Zone 3

La zone 3 a fait l'objet de 5 sondages archéologiques incluant le sondage test #3 (Figure 14, Tableau 7). L'inspection visuelle des limites de projets a permis d'observer quelques perturbations résultant des aménagements routiers actuels incluant un chemin d'accès au banc d'emprunt (Figure 25).

Description de l'environnement

La zone 3 se situe de part et d'autre de la route actuelle et de son remblai. Il s'agit d'un secteur en bas de route avec une légère pente, à proximité de la plaine inondable de la rivière. Ce secteur correspond au lit majeur de la rivière. Il y a peu de végétation, si ce n'est que de petites épinettes, car le sol est mal drainé (Figure 26). Le lit mineur est composé de galets en calcaire argileux local.



Figure 24 : Environnement et perturbations anthropiques de la zone 3, du côté nord du pont, à l'emplacement des sondages 1 et 2. Projets 154-13-0032 et 154-13-0033 (Photo 154130033_180703_021).



Figure 25 : Environnement de la zone 3, du côté sud du pont, à l'emplacement des sondages 50 et 51 et montrant le lit de la rivière. Projets 154-13-0032 et 154-13-0033 (Photo 154130033_180703_021).

Stratigraphie

Les surfaces sondées sont essentiellement caractérisées par la présence de dépôts graveleux mal drainés. Un sondage test#3 (Figure 27 et 28) a été réalisé dans le lit majeur de la rivière de la zone 3 (Figure 14). Il s'agit d'un sol composé d'une argile sableuse, de couleur brun gris clair, compacte, avec des inclusions à 85% de pierres calcaires. Certaines couches comportant du sol composé d'argile beige proviennent de l'érosion du remblai des chemins de gravier.

La première couche observée, d'une épaisseur moyenne de 0,05 mètre, correspond à un limon argileux organique, compact à meuble, brun foncé à grisâtre, avec la présence de cailloux et de graviers subarrondis (galets de rivière), de diamètre de 0,05 à 0,10 mètre. Il s'agit d'un niveau de surface composé de la litière et de l'humus (L et Ah). La deuxième couche, d'une épaisseur moyenne de 0,09 mètre, est composée de limon argileux, de couleur brun-gris jaunâtre clair, compacte, contenant des galets subarrondis hétérogènes de diamètre de 0,01 à 0,15 mètre. Cette couche est plus épaisse vers la route (au sud). Il s'agit d'un remblai pouvant être associé à la construction de la route principale. La troisième couche, d'une épaisseur variant entre 0,03 à 0,10 mètre, est composée d'argile limoneuse, brun orangé, moyennement compacte, avec des inclusions à 85% de charbon et de bois décomposés, notamment de gros troncs d'arbres d'environ 0,25 mètre avec l'écorce. Les inclusions font référence à un incendie. Il y a peu de chance que ce soit celui de 1955, probablement un plus petit dans les années 80. La quatrième couche, d'une épaisseur moyenne de 0,10 mètre, correspond à un sable argileux, de couleur beige grisâtre clair, compacte. Elle est composée d'environ 60% de cailloux ronds et subarrondis de 0,10 à 0,15 mètre, et de quelques éclipses de mortier et de bois. Il s'agit possiblement d'une couche témoignant d'un ancien remblai routier. Quant à la cinquième couche, celle-ci est d'une épaisseur moyenne de 0,02 à 0,03 mètres. Elle se compose d'un sol argileux limoneux, noir, compact sans inclusion mis à part, la présence de radicelles. Elle pourrait correspondre à un ancien niveau de surface organique naturel associé à la rivière. Tout comme la couche précédente, la sixième couche est d'une épaisseur moyenne de 0,02 à 0,03 mètre. Elle se compose d'un sol argilo-limoneux, de couleur gris beige, compact, sans inclusion, bien qu'il y a la présence de radicelles. Cette couche correspond à l'accumulation dans le lit de la rivière. La couche 7, similaire à la couche 5, est d'une épaisseur moyenne de 0,02 à 0,03 mètre et se compose d'un sol argileux limoneux, noir, compact sans inclusion. On y observe toutefois la présence de radicelles. Cette couche pourrait correspondre à un ancien niveau de surface organique naturel associé à la rivière. Alors que la dernière couche, d'une épaisseur d'environ 0,10-0,11 mètre, est entrecoupée par de grosses pierres. Il s'agit d'un sol composé d'une argile sableuse, de couleur brun gris clair, compacte, avec des inclusions à 85% de cailloux et de grosses pierres subarrondies (diamètre d'environ 0,30 mètre). Cette dernière couche pourrait être un ancien niveau de surface organique associé à la rivière. La fouille se termine à 0,50 mètre de profondeur.

Vestiges archéologiques

Aucun vestige ou bien archéologique n'a été identifié dans la zone 3.

Perturbations

Le sol au nord de la zone 3 est bosselé et dégarni. Il a été perturbé par un chemin de gravier qui mène au banc d'emprunt (Figure 29). Du côté nord du chemin principal, des amas de sols faits mécaniquement sont visibles (Figure 30).

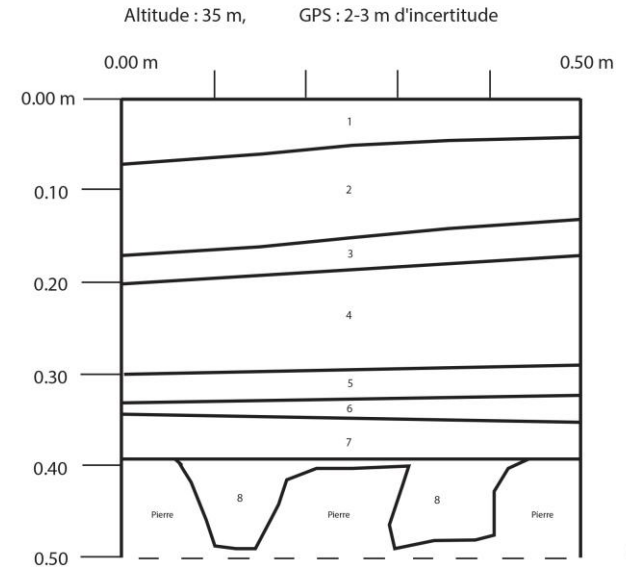


Figure 26 : Photographie de la stratigraphie du sondage test #3, zone 3, une couche d'incendie et différents niveaux organiques enfouis. Projets 154-13-032 et 154-13-0033 (Photo : 154130033_180703_020).

CROQUIS STRATIGRAPHIQUE: Sondage test #3, Zone 3, paroi est

I. Duval, 3 juillet 2018





Couche 8 : (lit rocheux de la rivière) Épaisseur d'environ 10-11 cm entrecoupée par des pierres. Argile sableusebrune-grise claire, compacte, inclusions (85%) de cailloux et de grosses pierres subarrondies (diamètre d'environ 30 cm). Fin de fouille à 50 cm de profondeur. Trop de pierres.

Couche 1 : (niveau de surface : Litière et Ah) - Épaisseur 5 cm. Limon argileux organique, compact à meuble, brun foncé à grisâtre, avec cailloux et de graviers subarrondis (galet de rivière) de diamètre de 0,5 à 10 cm.

Couche 2 : (remblai pouvant être associé à la construction de la route principale) Épaisseur 9 cm.

Limon argileux, de couleur brun-gris jaunâtre clair, compact, contenant des galets subarrondis hétérogènes de diamètre de 0.1 à 15 cm.

Couche 3 : (couche correspondrant à un feu) Épaisseur 3 à 10 cm. Argile limoneuse brun orangé, moyennement compacte, avec des inclusions à 85% de charbon et de bois décomposés.

Couche 4 : (couche témoignant d'un ancien remblai routier) Épaisseur 10 cm. Sable argileux, de couleur beige grisâtre clair, compacte. Elle est composée d'environ 60% de cailloux ronds et subarrondis de diamètre de 10 à 15 cm et de quelques éclipses de mortier et de bois.

Couche 5 : (ancien niveau de surface organique associé à la rivière) Épaisseur 2 à 3 cm. Argile limoneuse, noire, compacte sans inclusion. Présence de radicelles.

Couche 6 : (accumulation dans le lit de la rivière) Épaisseur de 2 à 3 cm. Argile limoneuse gris beige, compacte, sans inclusions. Présence de radicelles.

Couche 7 (ancien niveau de surface organique associé à la rivière) Épaisseur 2 à 3 cm. Argile limoneuse, noire, compacte sans inclusion. Présence de radicelles. Similaire à la couche 5.

Figure 27: Croquis de la stratigraphie type du sondage test#3, zone 3. Projets 154-13-0032 et 154-13-0033.



Figure 28 : Environnement de la zone 3 et perturbations anthropiques par les remblais routiers à l'approche est du pont de la rivière à la Patate Est. Projets 154-13-0032 et 154-13-0033 (Photo 154130033_180703_024).



Figure 29 : Environnement et perturbations anthropiques par les remblais routiers du chemin d'accès au banc d'emprunt au nord de la zone 3. Projets 154-13-0032 et 154-13-0033 (Photo 154130033_180703_032).

5.1.2.4 Zone 4

La zone 4 a fait l'objet de 11 sondages archéologiques incluant le sondage test #4 (Figure 14, Tableau 7). Deux sondages ont été faits du côté sud de la route et neuf du côté nord. Également, quelques éléments modernes et contemporains ont été relevés en surface lors de l'inspection visuelle. Cette zone est traversée par la route actuelle et les deux approches de ponts.

Description de l'environnement

La zone 4 correspond à une presqu'île qui fait la jonction entre les rivières à la Patate Est et Ouest. Au nord de la zone, il y a une terrasse alluviale plane boisée avec des épinettes, des bouleaux blancs et quelques feuillus (Figures 31). Cette terrasse est à environ 3 à 5 mètres plus élevée que le lit de la rivière. Le côté sud de la zone s'avère très abrupt et se situe dans le remblai de la route. Il y a un petit replat à la jonction du ruisseau et de la rivière à la Patate est. Les sondages (52 et 53) faits dans ce secteur ont montré un sol graveleux bouleversé sans couche de surface (Figure 32). L'inspection du talus d'érosion a été faite à l'ouest, au nord et à l'est (Figure 33).



Figure 30 : Environnement de la zone 4, du côté nord du pont, à l'emplacement des sondages 3 à 9. Projets 154-13-0032 et 154-13-0033 (Photo 154130033_180703_035).



Figure 31 : Environnement de la zone 4, du côté sud du pont, à l'emplacement des sondages 52 et 53. Projets 154-13-0032 et 154-13-0033 (Photo 154130033_180703_025).



Figure 32 : Environnement et inspection des couches de sol dans la paroi du talus d'érosion au nord-ouest de la zone 4. Projets 154-13-0032 et 154-13-0033 (Photo 154130033_180703_053)

Stratigraphie

Les surfaces sondées sont essentiellement caractérisées par la présence de dépôts meubles argileux, graveleux (60 à 80 % de galets de calcaire argileux gris subarrondis), plus ou moins bien drainés reposant sur un till. Un sondage test a été réalisé dans le nord-est de la zone 4 (Figure 34 et 35).

La première couche, d'une épaisseur de 0,05 à 0,08 mètre, correspond à une litière organique de mousse, d'épines, d'épinettes, de bouleaux et de petites fleurs de forêt. Cette couche contient aussi beaucoup de racines et de radicelles. Il s'agit donc d'un très mince horizon organique (Ah). La seconde couche, d'une épaisseur de 0,07 à 0,10 mètre, se compose d'une argile limoneuse gris clair, très compacte à friable, avec beaucoup de radicelles et de racines ainsi que quelques inclusions (10%) de cailloux d'environ 0 à 0,10 mètre, subarrondi. Il s'agit d'un horizon éluvié (Ae). La troisième couche, d'une épaisseur de 0,40 mètre, se compose d'argile limoneuse brun rouille, très compacte à friable, avec des lentilles d'argile grise. Elle contient également de la matière organique en décomposition ainsi que quelques racines. Le sol argileux est caractérisé par la décomposition de la roche calcaire ambiante et de quelques racines. Cette couche correspond à l'horizon B d'un podzol. La fouille se termine à 0,55 mètre de profondeur, car le sol était trop compact.

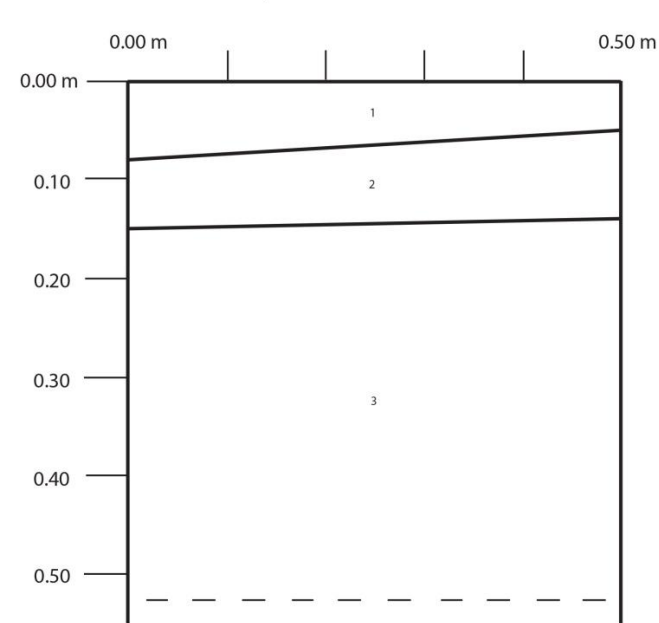


Figure 33 : Détails de la stratigraphie du sondage test #4 dans la zone 4. Projets 154-13-0032 et 154-13-0033 (Photo 154130033_180703_052).

CROQUIS STRATIGRAPHIQUE: Sondage test #4, Zone 4, Paroi sud

N 049° 40.538',W062° 56.264'

Altitude: 38 m, GPS: 2-3 m d'incertitude



Couche 1 : (Très mince Ah, litière compacte) Épaisseur de 5 à 8cm. Litière organique de mousse, d'épines, d'épinette, de bouleau et de petites fleurs de forêt. Cette couche contient beaucoup de racines et de radicelles.

Couche 2 : (couche Ae) Épaisseur de 7 à 10cm. Argile limoneuse grise claire très compacte à friable avec beaucoup de radicelles et de racines ainsi que quelques inclusions (10%) de cailloux d'environ 0 cm à 10 cm subarrondies.

Couche 3 : (podzol forestier) Épaisseur de 40 cm. Argile limoneuse brun rouille, très compacte à friable avec des lentilles d'argile grise et matière organique en décomposition et quelques racines.

Fin de fouille à 55 cm de profondeur.

I. Duval, 3 juillet 2018

Figure 34: Croquis de la stratigraphie type du sondage test#4, zone 4. Projet 154-13-0032 et 154-13-0033.

Vestiges archéologiques

Auncun bien ou vestige enfoui n'a été identifié dans les sondages de la zone 4. Toutefois, deux traces d'occupation humaine modernes à contemporaines ont été observées, relevées et interprétées. Les traces identifiées sont : une petite halte avec un feu et un caisson en billes de bois dans l'approche actuelle du pont qui pourrait être une ancienne culée de pont (Figure 36).

Les premiers indices d'occupation humaine sont des restes de bivouacs ou de haltes à l'ouest, sur la petite terrasse de la zone 4, à la jonction des deux rivières. Les restes d'un feu de camp à la surface du sol avec du bois carbonisé sont visibles l'emplacement de feu, d'un diamètre de 1,20 mètre contient deux cannes de conserve métalliques (Figure 37). Un tas de perche de bois sec est visible non loin (Figure 38). Un repère d'arpentage (BM) a été trouvé tout près. Également, deux sections d'un canal de drainage ou de ruissellement ont aussi été relevées en surface du sol (Figure 39). La première section d'un canal, de drainage a été identifiée par la présence d'un alignement de pierres sèches visible en surface, à 1,5 mètre du feu de camp et des perches de bois. Le canal est visible sur 2 mètres de long, à une largeur de 0,3 mètre et une profondeur de 0,15 mètre. Un sondage de 1 mètre par 2 mètres a été ouvert afin de le documenter (Figure 40). Les pierres, dont l'alignement n'est pas clair, reposent dans une argile limoneuse grise (la couche 2 de la stratigraphie du sondage test #4). Seul un goulot de bouteille de bière en verre brun a été trouvé en surface du sol entre les pierres. La forme de la bouteille de bière est ronde de type Stubby de 341ml et date d'entre les années 60 et 80. La deuxième section du supposé canal est une rigole ou un écoulement naturel identifié au nord-est de la zone 4 (Figure 41). Une dépression est creusée dans le sol, sans structure apparente ni pierre. Elle se dirige vers la rivière dans un secteur en érosion. Ce supposé canal mesure de 0,70 mètre de large sur 5 mètres de long et sur 0,30 mètre de profondeur. Il semble avoir été fait par l'érosion de l'eau de ruissellement. Un madrier de bois (61/4 x 6 pouces ou 0,16 x 0,145 mètre) a été retrouvé en surface près du canal. Ce madrier pourrait appartenir à la structure du pont et avoir été retiré lors d'une réparation. Selon le peu d'indices retrouvés en surface autour du foyer, de courtes haltes, par des forestiers, des pêcheurs, des arpenteurs, des travailleurs et des touristes, serait survenu à cet endroit à partir des années 60 avec l'ouverture du territoire lors de la construction de la route. Lors d'une reconnaissance du territoire en 1972, Tuck mentionne un espace de camping dans le secteur de la jonction des rivières à la Patate. La zone 4 pourrait être cet espace.

La seconde trace d'occupation identifiée est située dans la falaise en érosion à l'est de la zone 4, du côté ouest du pont actuel de la rivière à la Patate Est (Figure 42). Des restes de billots de bois ronds avec des clous tréfilés formant un caisson en claire-voie ont été relevés (Figure 43). Les deux billots observés dans le talus sont ronds sans écorce et mesurent environ 0,30 mètre de diamètre (Figure 44). Un des billots semble avoir un peu brûlé. Il y a aussi une planche cassée (0,20 x 0,05 sur 1 mètre de longueur) et une poutre décomposée, de 0,30 mètre de largeur, avec un gros clou carré (sans tête de 0,02 x 0,02 mètre) (Figure 45). Les billots de bois reposent à travers le remblai routier et aucune autre couche de sol n'a été identifiée. Les billots de bois visibles dans le talus servent maintenant d'armature et de soutènement à l'approche du pont actuel. Le talus de part et d'autre du pont actuel a été consolidé avec des poches de sable de ciment en 2001 par le MTQ (Figure 46). Le caisson de bois pourrait être associé à une ancienne culée de pont de la rivière à la Patate construite à la fin des années 60. La fonction de cette culée était de soutenir le remblai routier et est encore aujourd'hui de soutenir l'approche du pont. Par le paysage des abords de routes, on peut déduire l'ancien tracé routier, juste quelques mètres plus au nord de la route actuelle (Figure 47).

Perturbations

Du côté sud de la zone 4, le relief escarpé (Figure 48) et l'ampleur des perturbations anthropiques liées à l'aménagement de la route limitaient les espaces propices à la réalisation de sondages. De grandes superficies de terrain se sont avérées perturbées en surface et non sondables en raison des aménagements anthropiques passés, parmi lesquels il faut mentionner la structure actuelle de route ainsi que le déboisement.

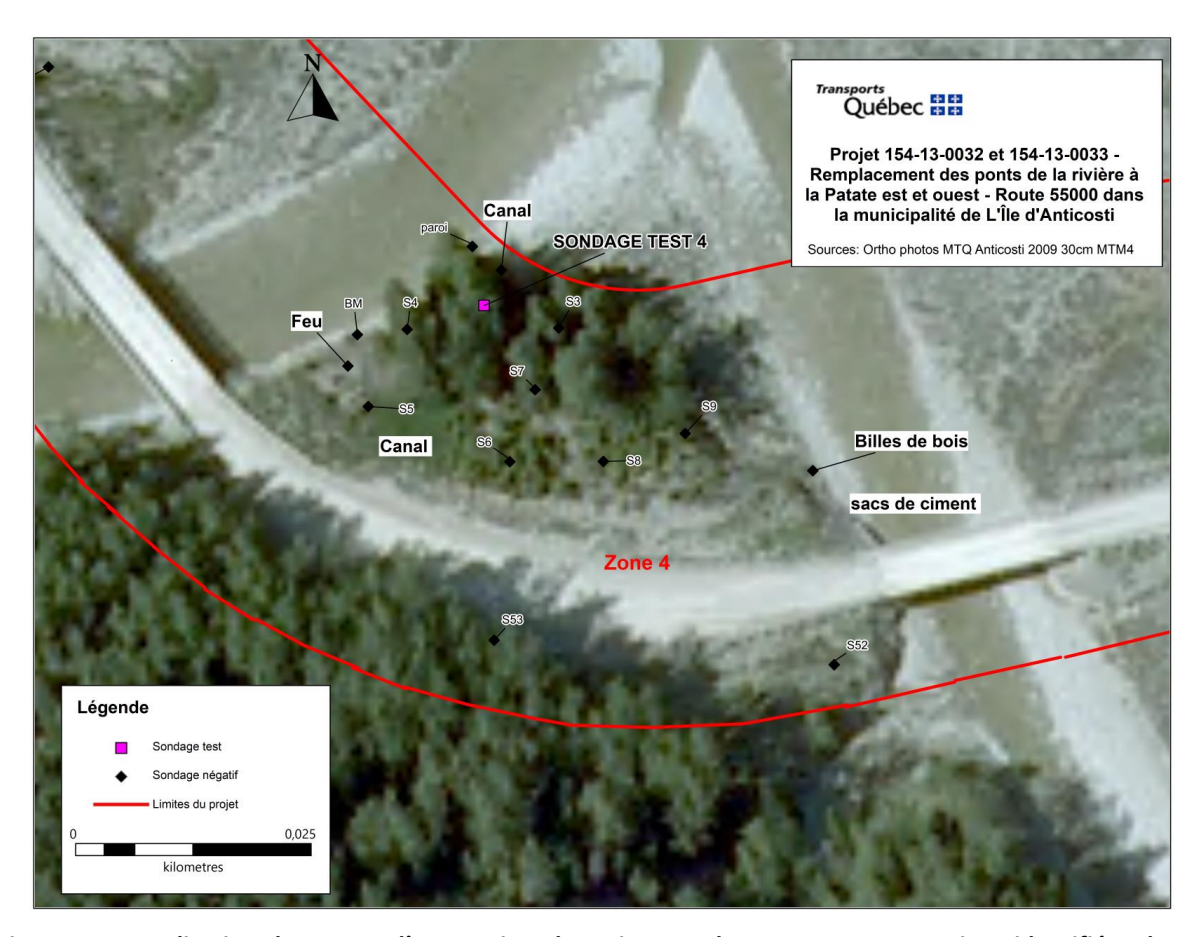


Figure 35 : Localisation des traces d'occupations humaines modernes et contemporaines identifiées dans la zone 4. Projet 154-13-0032 et 154-13-0033.



Figure 36 : Détails de l'environnement dans l'ouest de la zone 4 autour du foyer visible en surface du sol, avec deux cannes de conserve métallique et des restes de bois carbonisés. Projets 154-13-0032 et 154-13-0033 (Photo 154130033_180703_044).



Figure 37 : Détails de l'environnement et des perches de bois sec autour du foyer dans l'ouest de la zone 4. Projets 154-13-0032 et 154-13-0033 (Photo 154130033_180703_047).

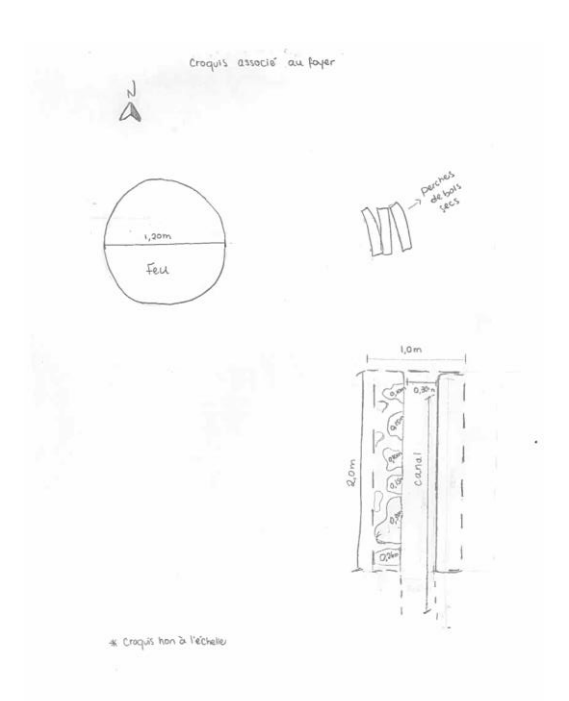


Figure 38 : Croquis de la surface du secteur du foyer de la sous-zone 4. Projets 154-13-0032 et 154-13-0033 (Photo 154130033_180703_047).



Figure 39 : Vue générale de l'expertise archéologique (2 par 1 mètre) afin d'identifier un possible alignement de pierres pour une rigole ou un petit canal de drainage délimité et creusé en terre (0,15m de profond), près du feu et des perches de bois en surface, à l'ouest de la zone 4. Un goulot de bouteille de bière en verre brun de type Stubby date l'utilisation de cet ensemble entre les années 60 et 80. Projets 154-13-0032 et 154-13-0033 (Photo 154130033_180703_058).



Figure 40 : Détails du canal ou d'un drainage naturel de la terrasse avec une poutre de bois à côté, au nord de la zone 4. Projets 154-13-0032 et 154-13-0033 (Photo 154130033_180703_049).



Figure 41: Environnement de la zone 4, à l'approche nord-ouest du pont actuel de la rivière à la Patate Est, à l'emplacement de l'ancienne culée de pont en billes de bois et des sacs de sable de ciment. Projets 154-13-0032 et 154-13-0033 (Photo 154130033_180703_021).



Figure 42 : Vue générale de l'ancienne culée de pont en billes de bois, à l'est de la zone 4, à l'approche ouest du pont de la rivière à la Patate Est. Projets 154-13-0032 et 154-13-0033 (Photo 154130033_180703_054).



Figure 43 : Vue générale de l'étançonnement contre l'érosion en sac de béton mis aux abords du pont actuel de la rivière à la patate Est du côté ouest et de l'ancienne culée de pont en bois, à l'est de la zone 4. Projets 154-13-0032 et 154-13-0033 (Photo 154130033_180703_057).

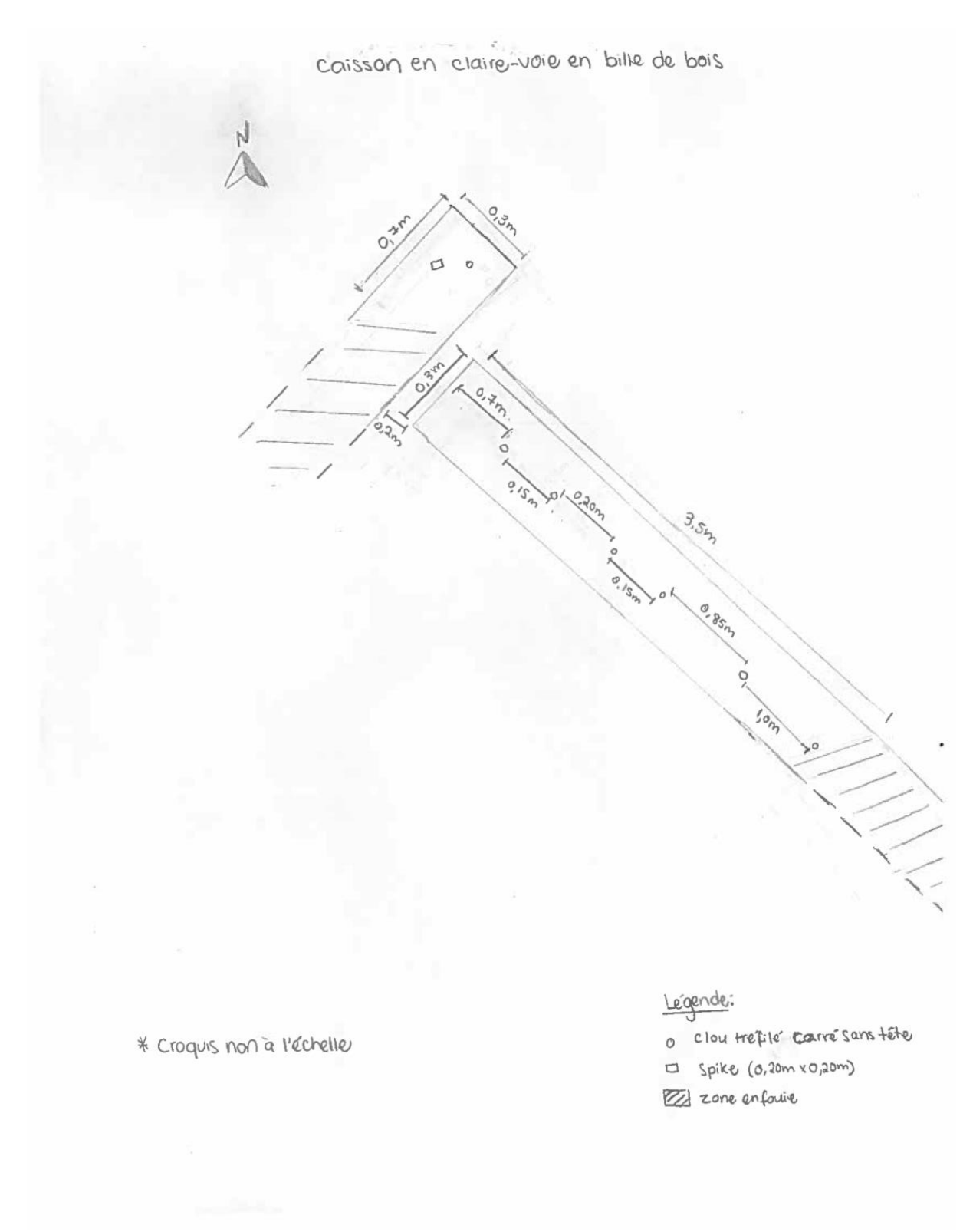


Figure 44 : Croquis du caisson en bois dans l'approche du pont actuel de la rivière à la patate Est, du côté ouest, dans l'est de la zone 4. Projets 154-13-0032 et 154-13-0033.

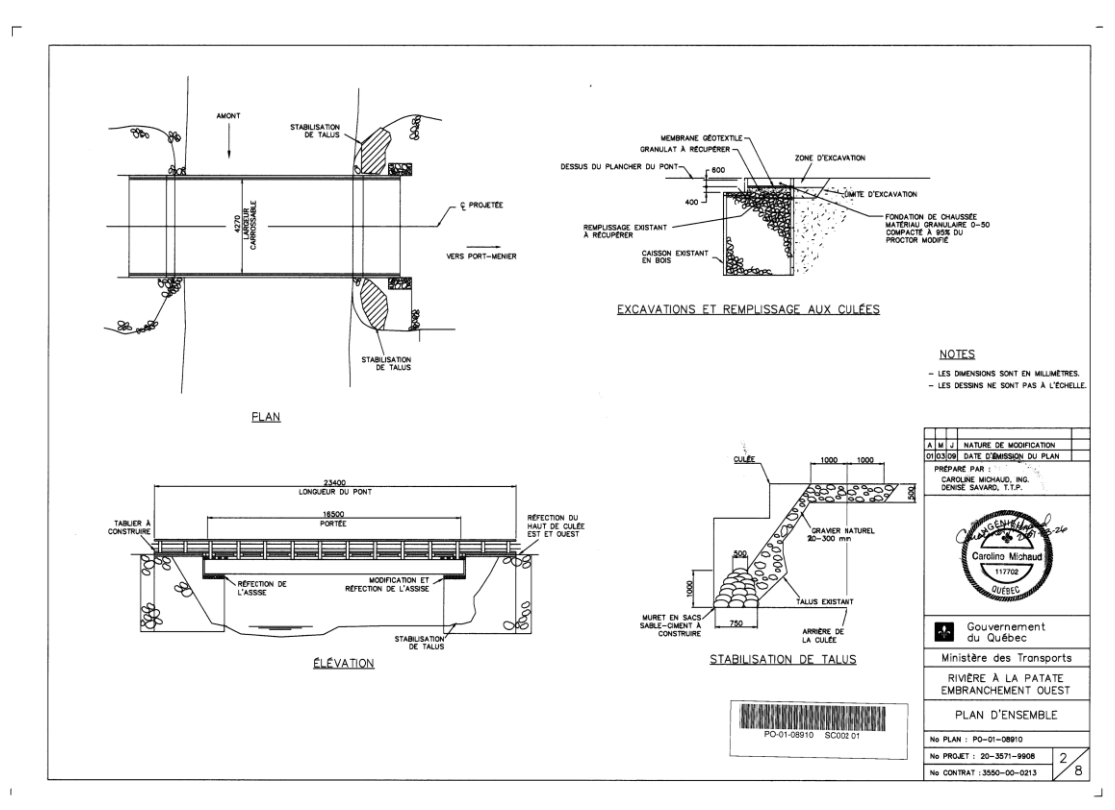


Figure 45 : Plan de réparation des ponts de la rivière à la Patate montrant la stabilisation de talus avec les poches de ciments fait par le Ministère des Transports en 2001. Projets 154-13-0032 et 154-13-0033 (Tiré du MTQ).



Figure 46 : Vue générale de l'ancien tracé routier au nord de la route actuelle, à l'est de la zone 4. Projets 154-13-0032 et 154-13-0033 (Photo 154130033_180703_059).



Figure 47 : Vue générale de la forte pente au sud de la zone 4. Projets 154-13-0032 et 154-13-0033 (Photo 154130033_180703_060).

5.1.3 Discussion et interprétation

Il est difficile de déterminer si la zone d'intervention avait fait l'objet d'une reconnaissance exhaustive lors de la campagne de Tuck en 1972. Du point de vue théorique, les données disponibles suggéraient un potentiel préhistorique de la zone d'intervention. Les sites préhistoriques connus actuellement sur l'île se situent à la Pointe-Ouest qui est du côté sud de l'île. La rivière à la Patate se situe plus ou moins à la même hauteur que les sites préhistoriques connus, mais du côté nord. Il s'agit donc d'un endroit potentiellement privilégié pour traverser l'île pendant la période préhistorique. Même si aucun témoin de la préhistoire n'a été trouvé dans les limites des projets, le secteur de la rivière à la Patate demeure un endroit avec un potentiel archéologique pour la préhistoire notamment sur les hautes terrasses sableuses qui bordent la rivière. L'absence de données préhistorique du côté nord de l'Île d'Anticosti soulève également plusieurs interrogations. On peut penser au biais méthodologique des connaissances archéologiques, à l'érosion, mais surtout à la méconnaissance des variations du niveau marin relatives de l'île. De nouvelles données préhistoriques apporteraient un éclairage nouveau sur l'utilisation de l'île à la période préhistorique.

L'environnement des projets, peu perturbé, à la jonction de rivières, bordée de terrasses alluviales bien drainées, rend probable la fréquentation du territoire à l'étude à la période préhistoire. Le sol observé lors de l'expertise archéologique dans les sondages est composé de sédiments gravelo-sableux, associés

à des dépôts fluviaux de plaines et de terrasses alluviales mises en place par la rivière et parfois par des éboulis à la base des talus (Dubois et al. 1990). Des horizons de surfaces podzoliques ont également été observés dans les secteurs boisés.

En ce qui concerne le potentiel historique, la recherche documentaire préalable n'avait rien révélé. Toutefois non loin de la zone des projets, les restes d'une piste d'avion ont été identifiés sur le terrain, à l'est du km 123 de la route principale, au sommet de la vallée de la rivière à la Patate (Figure 49). D'ailleurs, une carcasse d'un avion de la compagnie Air Gaspé, écrasé en 1967 (Panneau d'interprétation local de la SÉPAQ), est encore présente le long de la route principale, près de la rivière à l'Huile (Figure 50) et témoigne de ce mode de transport utilisé sur l'île depuis les années 60.

On voit sur une carte topographique de l'île qu'il n'y a pas encore de route en 1961 dans le secteur de la rivière à la Patate (Figure 51). Les ponts et la route principale sont visibles sur une carte de 1977 (Figure 52) et se trouvent à leurs emplacements actuels. La route principale dans ce secteur aurait été construite vers la fin des années 60 soit entre 1961 et 1977.

Même si aucun bien archéologique n'a été trouvé dans les limites des projets, les traces d'occupations humaines modernes identifiées dans la sous-zone 4, situé à la jonction des rivières à la Patate Est et Ouest permettent néanmoins de corroborer la fonction de ce secteur comme villégiature moderne et contemporaine, fréquentée par des chasseurs, des pêcheurs et des travailleurs sporadiquement depuis le milieu des années 60.

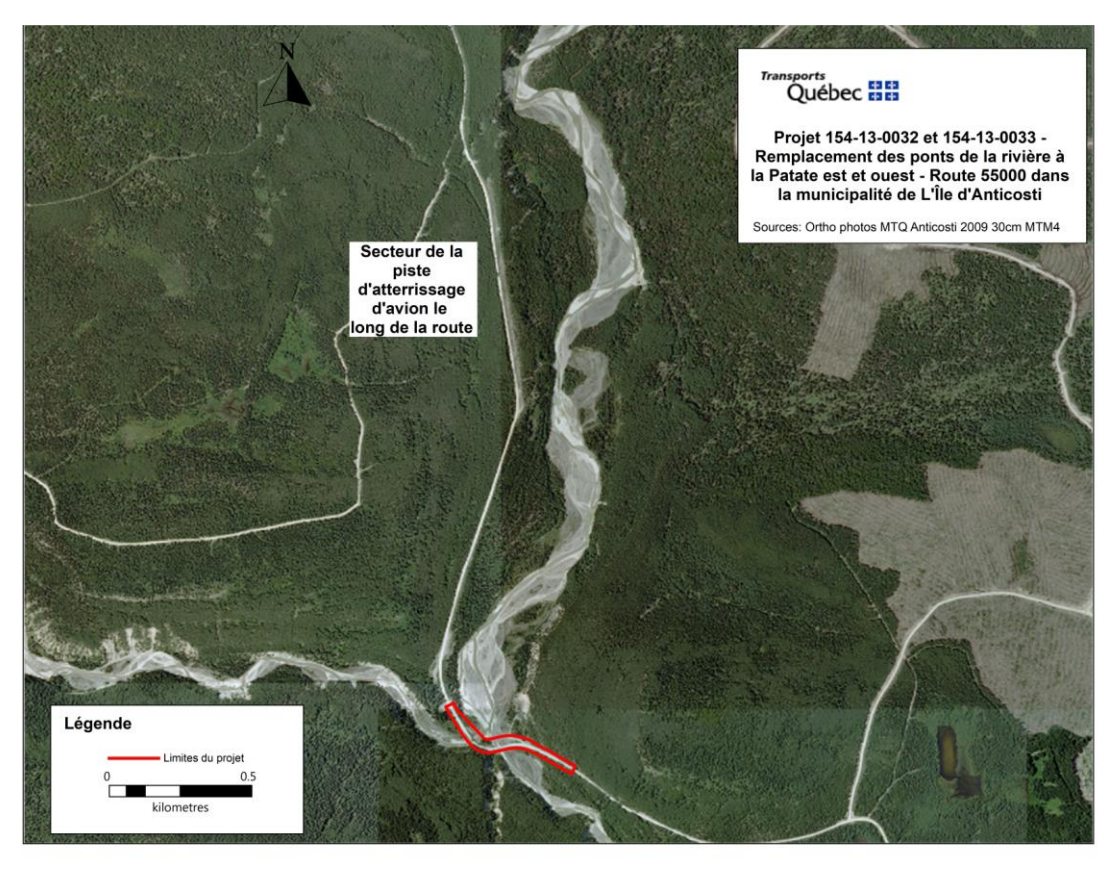


Figure 48 : Localisation d'une piste d'avion sur le sommet de la vallée à la jonction des rivières dans à la Patate, le long de la route principale, avant le km 123.



Figure 49 : Avion de la compagnie Air Gaspé écrasé en 1967 le long de la route principale près de la rivière à l'Huile (Photo 154130033_180702_014).



Figure 50 : Extrait de la carte topographique de 1961, 12E10W, qui montre le secteur de la rivière à la Patate avant la construction de la route principale. Milieu nord de l'Île d'Anticosti. Source BAnQ G3400s50C37 12E10W 1961 DCA.

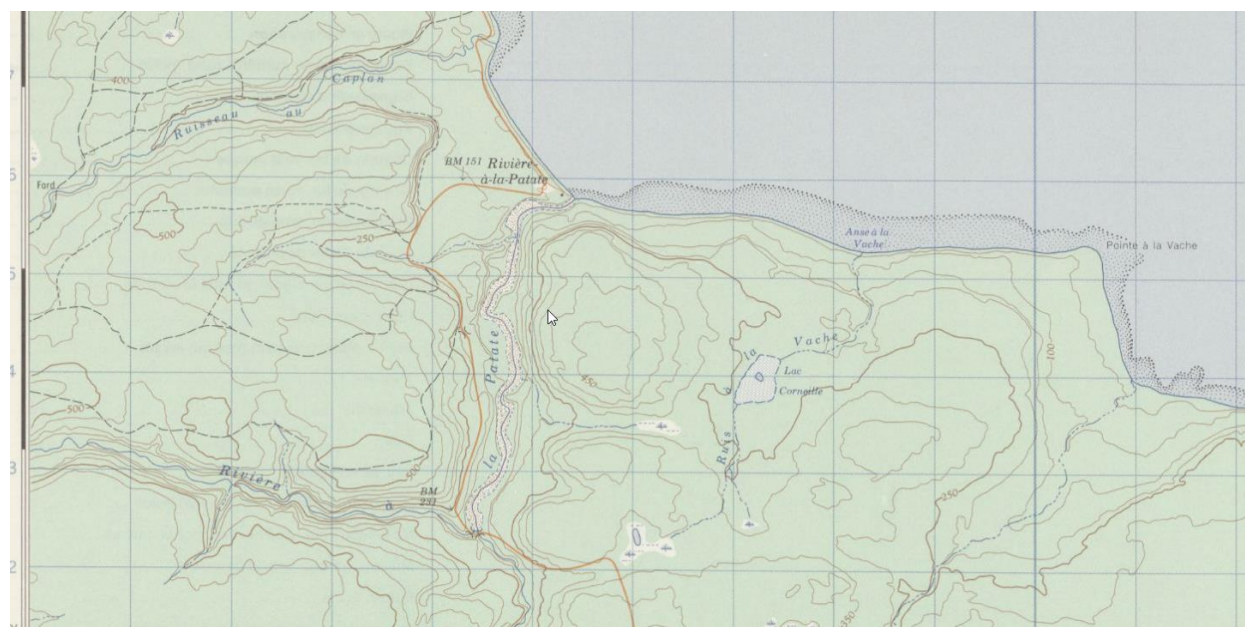


Figure 52 : Extrait de la carte topographique de 1977, 12E10, qui montre le secteur de la rivière à la Patate avec la route principale à son emplacement actuel. Milieu nord de l'Île d'Anticosti. Source BAnQ G3400 s50 C37 12E10 1977 DCA.

6 Conclusion et recommandations

Les inventaires archéologiques préventifs réalisés dans les zones des travaux projetés pour les projets 154-13-0032 et 154-13-0033 ont été exécutés les 3 et 5 juillet 2018. Des traces d'occupation historique de la période moderne et contemporaine (post 1965 jusqu'à aujourd'hui) ont été identifiées dans la zone 4 et interprétées sans valeur archéologique. Aucune mesure de protection ou de conservation n'est à donner pour ces éléments du point de vue de l'archéologie pour ce secteur.

L'inspection visuelle des différentes zones 1 à 4 et la réalisation de 45 sondages ont permis de confirmer le fort potentiel préhistorique du secteur, mais n'a pas conduit à la découverte de bien ou de site archéologique dans les limites du projet. En dépit du potentiel théorique, l'inventaire suggère qu'il est peu probable que la zone d'intervention ait accueilli une occupation humaine pouvant avoir laissé des traces susceptibles de conduire à la découverte de bien ou de site archéologique. Le risque de découverte fortuite en cours de travaux apparaît donc faible.

Les travaux du Ministère de réfection des ponts et de ses approches peuvent donc se poursuivre sans contrainte archéologique. Néanmoins, le fort potentiel préhistorique identifié suggère théoriquement la possibilité que des traces d'occupations préhistoriques puissent être présentes à proximité de la zone des travaux. Considérant que l'inventaire s'est limité à la zone des travaux identifiée, il est recommandé de limiter les travaux à celle-ci. Si des modifications de la zone des travaux étaient prévues, un second inventaire archéologique est recommandé afin de prévenir d'éventuelles destructions du patrimoine.

7 Bibliographie

BALAC, A.-M.

2002 Découverte fortuite de sépultures à Anticosti. Rapport déposé au MCC, Québec.

DUBOIS, J M; Gwyn, Q H J; Bigras, P; Gratton, D; Perras, S; St-Pierre, L;

1990 Géologie des formations en surface, île d'Anticosti, QuébecCommission géologique du Canada, Carte série "A" 1660A, 1 feuille, https://doi.org/10.4095/130935

DUMAS A.

2013 Anticosti: unique au monde, Éditions de l'Homme, Montréal, 207p.

DYKE, A.S

2005 Late Quaternary Vegetation History of Northern North America Based on Pollen, Macrofossil, and Faunal Remains. *Géographie physique et Quaternaire*, vol. 59, n° 2-3, 2005, p. 211-262. https://id.erudit.org/iderudit/014755ar

GENÊT, N.

1983 Notes sur le site de la Baie-du-Renard. Rapport déposé au MCC, Québec.

GENÊT, N. et C. KIRJAN

1983 Compte rendu d'une visite des cimetières de la baie Sainte-Claire (île d'Anticosti).

GILBERT R.

Mon île au Canada : Anticosti et son histoire sous Henri Meunier (1895-1913), Les Éditions GID, Québec, 386p.

GROISON, D.

1975 Reconnaissance archéologique sur Anticosti, été 1975. Rapport déposé au MCC, Québec.

KIDDER, A. II et J. A. TUCK

1972 A preliminary survey of Anticosti Island, Quebec. Man in the Northeast 4: 88-92 p.

LEJEUNE L et Jean-Noël Dion

1989 Anticosti: L'époque de la Consol (1926-1974), Éditions JML, Saint-Hyacinthe, 198p.

MOUSSEAU, C.

1984 Île d'Anticosti, Baie—Sainte-Claire, DIDc-2. Rapport déposé au MCC, Québec.

PINTAL, J-Y.

1998 Inventaire archéologique. Municipalité de l'Ile d'Anticosti, localité de Port-Meunier.

Projet d'Assainissement des eaux. Société québécoise d'assainissement des eaux/Municipalité de l'Île d'Anticosti, rapport inédit, 12 p.

PINTAL, J-Y.

2018 Île d'Anticosti : Étude de potentiel archéologique, ministère de la Culture et des Communications du Québec, Québec.

RENAUD, R.

1975 Sondages en vue de retrouver le fort Louis-Jolliet, île d'Anticosti. Rapport déposé au MCC, Québec.

RICHARD P.J.H. et Grondin, P.

2009 Histoire postglaciaire de la végétation, pp. 170-176, *in* Chapitre 4, Saucier *et al.*,« Écologie forestière », pp. 165-316 , *in* Ordre des ingénieurs forestiers du Québec, *Manuel de foresterie*, 2e édition, Ouvrage collectif, Éditions MultiMondes, Québec, 1510 p.

ROBERGE J., B. Lauriol et L. Saint-Pierre

1985 La morphogénèse de la caverne à la patate, Île d'Antiscosti, Québec *Géographie physique et Quaternaire*, 39(1) pp. 67-75 https://id.erudit.org/iderudit/032585ar

ROCHEFORT F.

2009 Rapport d'expertise archéologique à Port-Meunier, Île d'Anticosti remis à la municipalité de Port-Meunier et à la Direction de la Côte-Nord, municipalité de Baie-Comeau.Rapport déposé au MCCCFQ, Québec.

SALAÜN, J.-P.

1984 Évaluation du potentiel archéologique du site de la Baie du Renard. Île d'Anticosti. Rapport déposé au MCC, Québec.

SALAÜN, J.-P.

1985 Évaluation du potentiel archéologique du site de la baie Sainte-Claire, île d'Anticosti. Rapport déposé au MCC, Québec.

SIMARD J.

2008 Dynamique après-feu et histoire holocène du bassin versant de la rivière à la Patate, île d'Anticosti, Québec, Thèse de doctorat, Université Laval, mise en ligne le 17 avril 2018, consulté le 14 mai 2019, http://hdl.handle.net/20.500.11794/22341

TUCK James A.

1972 Field Notes, Anticosti Island, 1972. Rapport déposé au MCC, Québec.

Références électroniques

Bibliothèque et Archives nationales du Québec (BAnQ), http://www.bang.gc.ca, consulté en mai 2019.

René Bourques, 2017, http://www.anticostiphotos.com/, consulté en mai 2019.

Centre d'expertise hydrique du Québec (CEHQ), https://www.cehq.gouv.qc.ca/, consulté en mai 2019.

Institut de recherche et de développement en agroenvironnement (IRDA), https://www.irda.qc.ca/fr/, consulté en mai 2019.

Inventaire des sites archéologiques du Québec (ISAQ), Ministère de la culture et des communications, https://www.mcc.gouv.qc.ca/, consulté en mai 2019.

Ministère des Forêts, de la Faune et des Parcs (MFFP), https://mffp.gouv.qc.ca/, consulté en mai 2019.

Municipalité de l'Île d'Anticosti, https://municipalite-anticosti.org/notre-histoire/, consulté en mai 2019.

René Bourque (2019) Anticostiphotos.com, consulté en mai 2019.

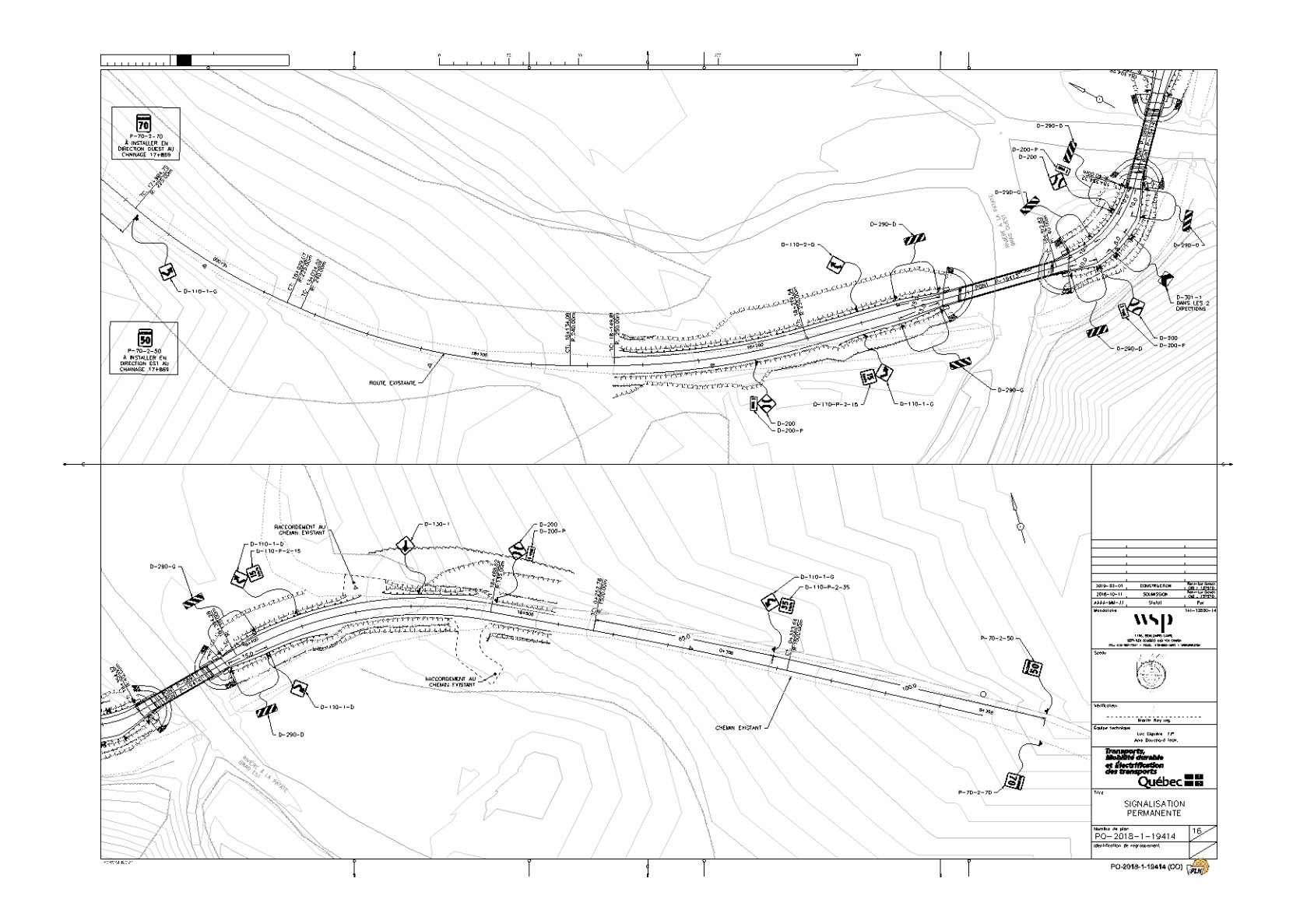
Répertoire du patrimoine culturel du Québec (RPCQ), Ministère de la culture et des communications, http://www.patrimoine-culturel.gouv.qc.ca/, consulté en mai 2019.

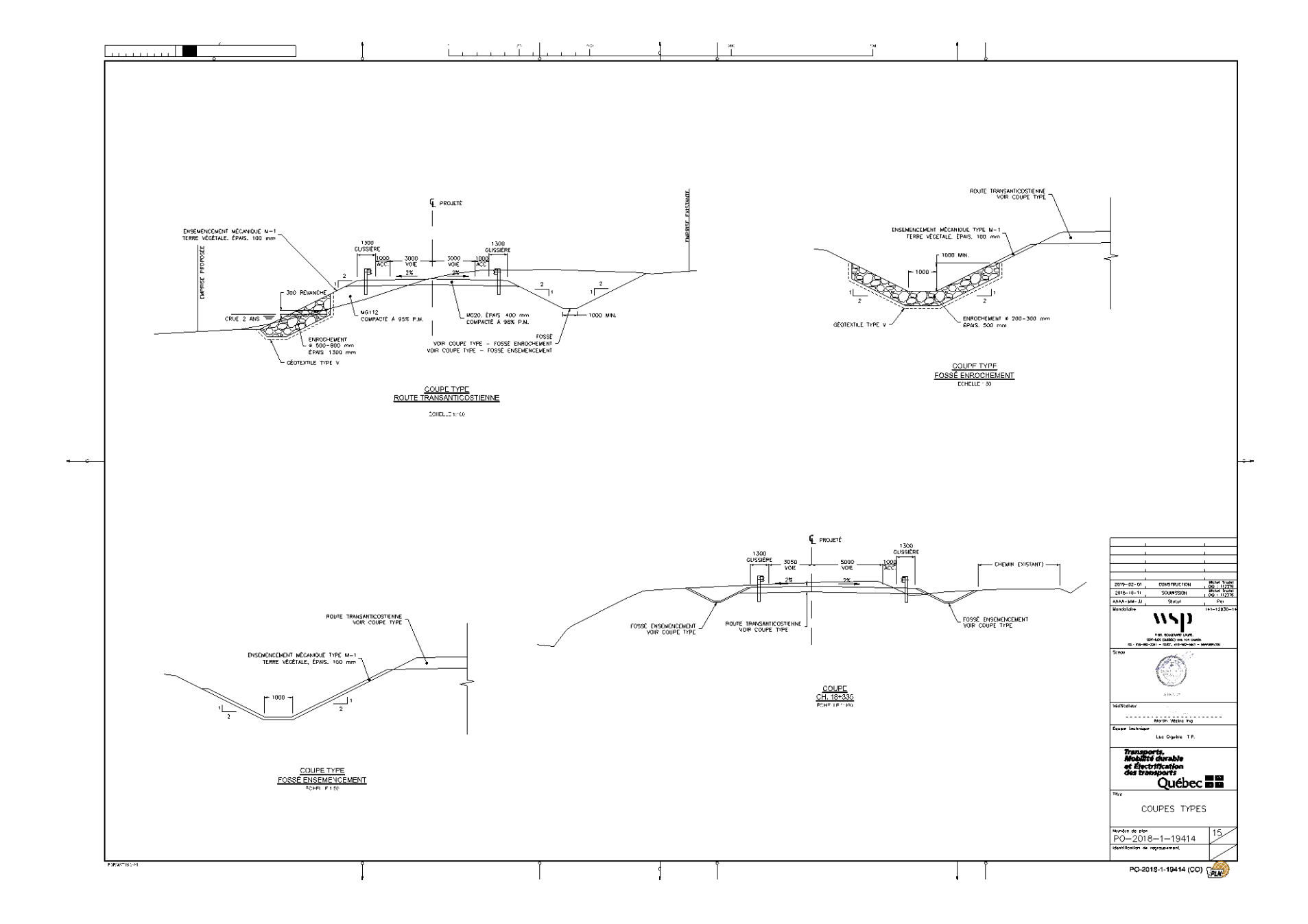
Radio Canada, 2017, *Les diverses vocations de l'île d'Anticosti à travers le* temps, https://ici.radio-canada.ca/nouvelle/1050490/ile-anticosti-unesco-tourisme-chasse-archives, consulté en mai 2019.



Site	Zone	Sondage	Niveau	Objet	Nbr. Art.	Matériau	Description	État de conservation	Lieu de conservation
Inventaire projets MTQ 154-13- 0032 et 154-13- 0033	4	Inspection visuelle	Surface	Contenant	2	Métal	Canne de conserve de type jus de tomate (rouillé)	Non conservé	Laissé sur place
Inventaire projets MTQ 154-13- 0032 et 154-13- 0033	4	Sondage #5	Surface	Contenant	1 fragm.	Verre brun	Un goulot fabriqué par moule d'une bouteille de bière de forme ronde (type 341 ml)	Non conservé	Laissé sur place
Inventaire projets MTQ 154-13- 0032 et 154-13- 0033	4	Talus d'érosion	Remblai	Clou	1	métal	Gros clou carré sans tête de 2 x 2 cm associé au pont	Non conservé	Laissé sur place
Inventaire projets MTQ 154-13- 0032 et 154-13- 0033	4	Talus d'érosion	Remblai	Clou	5	métal	Clous tréfilés	Non conservé	Laissé sur place







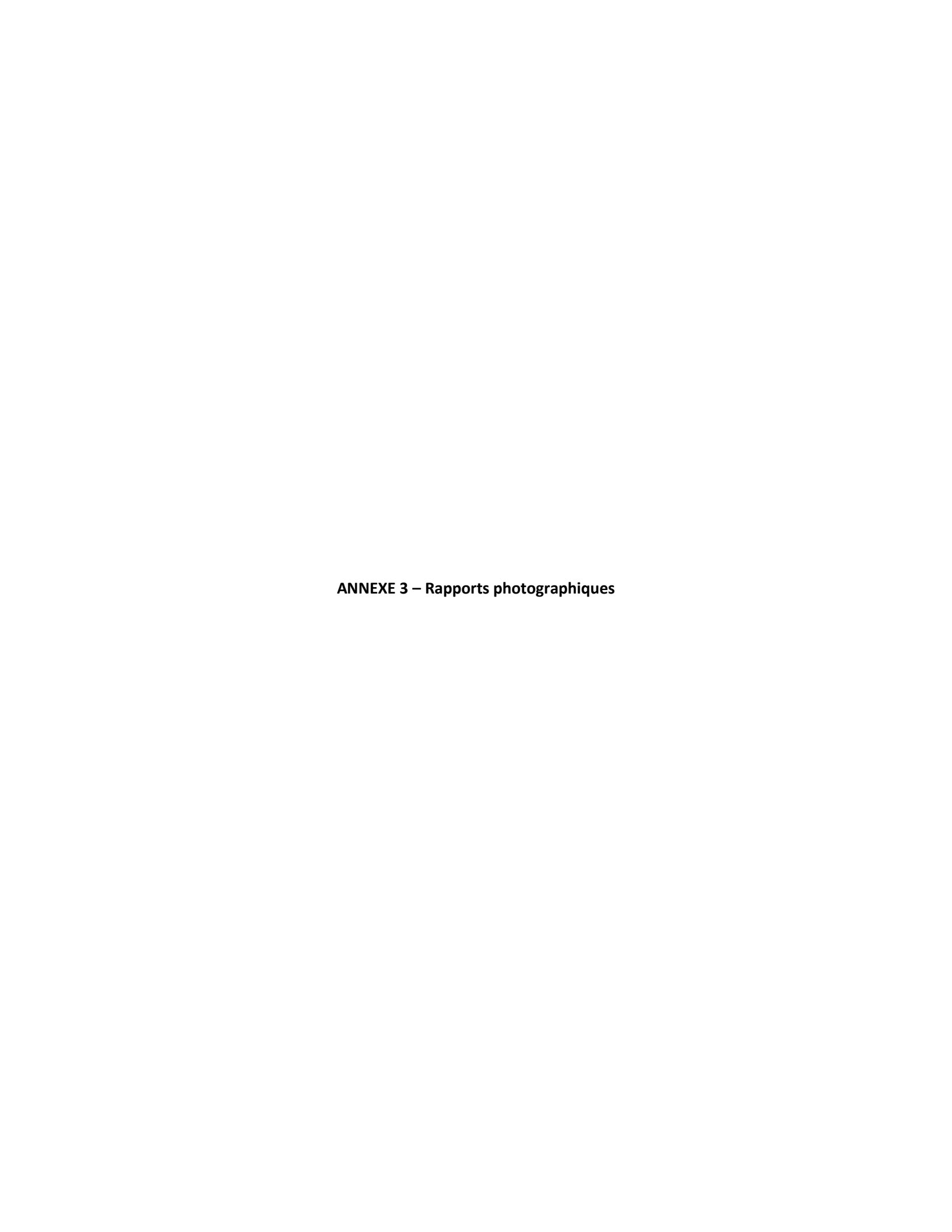


Photo no:154130033 180702 001 Orientation: Nord-Est

Description: Canal St-Georges à Port Meunier.

Photo no: 154130033 180702 002 Orientation : Sud-Ouest

Description: Canal St-Georges creusé en 1899 (Village de Baie Ellis), il a servi en 1907 à une scierie, et à partir de

1920 à produire de l'électricité aux bâtiments du village de Port-Menier.

Photo no: 154130033 180702 003 Orientation: Ouest

Description : Phare près de la Villa Château Meunier, Port Meunier ou Baie Ellis.

Photo no: 154130033_180702_004 Orientation: Nord

Description: Ruine de la Villa Château Meunier, Port Meunier ou Baie Ellis.

Photo no:154130033_180702_005 **Orientation :** Nord

Description: Maison acadienne écroulée, à l'Anse-aux-Fraises.

Photo no: 154130033 180702 006 Orientation: Plan

Description: Panneaux d'interprétation du four à chaux, Baie-Sainte-Claire.

Photo no: 154130033 180702 007 Orientation: Nord

Description : Four à chaux, Baie-Sainte-Claire.

Photo no: 154130033_180702_008 Orientation: Sud **Description:** Toit du four à chaux, Baie-Sainte-Claire.

Photo no:154130033 180702 009 Orientation: Nord

Description: Inscription sur une pierre tombale près du four à chaux, Baie-Sainte-Claire.

Photo no: 154130033_180702_010 Orientation: Nord-Ouest

Description : Pierres tombales près du four à chaux, Baie-Sainte-Claire.

Photo no:154130033_180702_011 **Orientation :** Nord **Description :** Ruisseau et maison, Baie-Sainte-Claire.

Photo no : 154130033_180702_012 **Orientation :** Sud **Description :** Détail de la maison, Baie-Sainte-Claire.

Photo no: 154130033_180702_013 Orientation: Nord

Description : Avion de la compagnie Air Gaspé écrasé en 1967 sur le long de la route principale.

Photo no: 154130033 180702 014 Orientation: Sud

Description : Avion de la compagnie Air Gaspé écrasé en 1967 le long de la route principale.

Photo no:154130033 180702 015 Orientation: Nord

Description : Projet sur la route principale de reconstruction des ponts des rivières Patates Est et Ouest. Inventaire archéologique. Zone 3 à l'est de l'approche de pont de Patate Est. Banc d'emprunt au nord à l'extérieur des limites de projet.

Photo no: 154130033 180702 016 Orientation: Sud

Description : Projet sur la route principale de reconstruction des ponts des rivières Patates Est et Ouest. Inventaire archéologique. Vue générale de la zone 3 à l'est de l'approche de pont de Patate Est.

Photo no: 154130033 180702 017 Orientation: Nord

Description : Projet sur la route principale de reconstruction des ponts des rivières Patates Est et Ouest. Inventaire archéologique. Environnement des sondages 1 et 2, du sondage test #3 de la Zone 3 à l'est de l'approche de pont de Patate Est.

Photo no: 154130033_180702_018 **Orientation:** Plan

Description : Projet sur la route principale de reconstruction des ponts des rivières Patates Est et Ouest. Inventaire archéologique. Détail d'un niveau de charbon et bois dans le sondage test #3.

Photo no: 154130033 180702 019 Orientation: Ouest

Description : Projet sur la route principale de reconstruction des ponts des rivières Patates Est et Ouest. Inventaire archéologique. Zone 3 à l'est de l'approche de pont de Patate Est. Environnement du sondage test #3 et remblais routier à l'approche du pont.

Photo no: 154130033 180702 020 Orientation: Nord-Ouest

Description : Projet sur la route principale de reconstruction des ponts des rivières Patates Est et Ouest. Inventaire archéologique. Détails de la stratigraphie du sondage test#3 avec les niveaux d'incendie au fond.

Photo no: 154130033 180702 021 Orientation: Est

Description : Projet sur la route principale de reconstruction des ponts des rivières Patates Est et Ouest. Inventaire archéologique. Environnement sondage # 2, de la Zone 3 à l'est de l'approche de pont de Patate Est.

Photo no: 154130033 180702 022 Orientation: Ouest

Description : Projet sur la route principale de reconstruction des ponts des rivières Patates Est et Ouest. Inventaire archéologique. Lit de la rivière à l'est de la zone 3.

Photo no: 154130033_180702_023 Orientation: Ouest

Description : Projet sur la route principale de reconstruction des ponts des rivières Patates Est et Ouest. Inventaire archéologique. Lit de la rivière à l'est de la zone 3.

Photo no: 154130033 180702 024 Orientation: Est

Description : Projet sur la route principale de reconstruction des ponts des rivières Patates Est et Ouest. Inventaire archéologique. Vue générale de l'approche du pont est de la zone 3.

Photo no:154130033_180702_025 Orientation : Ouest

Description : Projet sur la route principale de reconstruction des ponts des rivières Patates Est et Ouest. Inventaire archéologique. Environnement du sondage 52, au sud de la Zone 4, à l'ouest de l'approche de pont de Patate Est.

Photo no: 154130033_180702_026 **Orientation:** Sud

Description : Projet sur la route principale de reconstruction des ponts des rivières Patates Est et Ouest. Inventaire archéologique. Environnement au sud de la zone 3 et du pont dans le lit de la rivière Patates Est.

Photo no: 154130033 180702 027 Orientation: Est

Description : Projet sur la route principale de reconstruction des ponts des rivières Patates Est et Ouest. Inventaire archéologique. Zone 3 à l'est de l'approche de pont de Patate Est. Environnement du côté sud du pont, sondages 50 et 51.

Photo no: 154130033 180702 028 Orientation: Ouest

Description : Projet sur la route principale de reconstruction des ponts des rivières Patates Est et Ouest. Inventaire archéologique. Zone 4 à l'ouest de l'approche de pont de Patate Est. Environnement du côté nord du pont, avec les sacs de sable bétonnés et les billots de bois.

Photo no:154130033 180702 029 Orientation : Plan

Description : Projet sur la route principale de reconstruction des ponts des rivières Patates Est et Ouest. Inventaire archéologique. Stratigraphie du sondage test #3 de la Zone 3 à l'est de l'approche de pont de Patate Est.

Photo no: 154130033 180702 030 Orientation: Plan

Description : Projet sur la route principale de reconstruction des ponts des rivières Patates Est et Ouest. Inventaire archéologique. Stratigraphie du sondage 2 de la Zone 3 à l'est de l'approche de pont de Patate Est.

Photo no: 154130033_180702_031 **Orientation:** Est

Description : Projet sur la route principale de reconstruction des ponts des rivières Patates Est et Ouest. Inventaire archéologique. Zone 3 à l'est de l'approche de pont de Patate Est. Stratigraphie du sondage 2.

Photo no: 154130033 180702 032 Orientation: Nord-Ouest

Description : Projet sur la route principale de reconstruction des ponts des rivières Patates Est et Ouest. Environnement perturbé par les remblais routiers au nord-ouest de la zone 2.

Photo no: 154130033_180702_033 Orientation: Sud-Est

Description : Projet sur la route principale de reconstruction des ponts des rivières Patates Est et Ouest. Chemin d'accès au banc d'emprunt en gravier au nord de la zone 3.

Photo no: 154130033 180702 034 Orientation: Est

Description : Projet sur la route principale de reconstruction des ponts des rivières Patates Est et Ouest. Inventaire archéologique. Vue générale des zones 4, 3 et 2 en arrière-plan, du côté sud.

Photo no: 154130033 180702 035 Orientation: Nord

Description : Projet sur la route principale de reconstruction des ponts des rivières Patates Est et Ouest. Inventaire archéologique. Environnement de la zone 4 entre les deux ponts, du côté nord.

Photo no: 154130033 180702 036 Orientation: Ouest

Description : Projet sur la route principale de reconstruction des ponts des rivières Patates Est et Ouest. Environnement très escarpé au sud de la zone 4 à l'emplacement du sondage 53.

Photo no: 154130033_180702_037 Orientation: Sud

Description : Projet sur la route principale de reconstruction des ponts des rivières Patates Est et Ouest. Inventaire archéologique. Ruisseau au sud-est de la zone 4 avec un relief escarpé et montrant l'assise rocheuse.

Photo no : 154130033_180702_038 **Orientation :** Ouest

Description : Projet sur la route principale de reconstruction des ponts des rivières Patates Est et Ouest. Inventaire archéologique. Vue de l'environnement plat de la zone 4 au nord à l'emplacement des sondages 8 et 9.

Photo no: 154130033 180702 039 Orientation: Nord

Description: Projet sur la route principale de reconstruction des ponts des rivières Patates Est et Ouest. Inventaire archéologique. Zone 4 du côté nord. Jonction des rivières Patates Est et Ouest.

Photo no: 154130033 180702 040 Orientation: Nord-Ouest

Description: Projet sur la route principale de reconstruction des ponts des rivières Patates Est et Ouest. Inventaire

archéologique. Détails de l'environnement rocailleux autour du sondage 8. Zone 4 du côté nord.

Photo no: 154130033 180702 041 Orientation: Nord

Description : Projet sur la route principale de reconstruction des ponts des rivières Patates Est et Ouest. Inventaire archéologique. Détails de l'environnement et du sol rocailleux autour du sondage 8. Zone 4 du côté nord de la route principale.

Photo no: 154130033 180702 042 Orientation: Plan

Description : Projet sur la route principale de reconstruction des ponts des rivières Patates Est et Ouest. Inventaire archéologique. Détail d'un boulon dans les déblais routier, au bas de l'îlot de la zone 4 du côté nord.

Photo no: 154130033 180702 043 Orientation: Nord

Description : Projet sur la route principale de reconstruction des ponts des rivières Patates Est et Ouest. Inventaire archéologique. Zone 4, côté nord-ouest. Repère ou BM d'arpenteur sur un arbre.

Photo no: 154130033 180702 044 Orientation: Nord-Ouest

Description : Projet sur la route principale de reconstruction des ponts des rivières Patates Est et Ouest. Inventaire archéologique. Vue générale du foyer en surface dans l'ouest de la zone 4.

Photo no: 154130033_180702_045 Orientation: Nord

Description: Projet sur la route principale de reconstruction des ponts des rivières Patates Est et Ouest. Inventaire archéologique. Environnement du foyer en surface dans l'ouest de la zone 4.

Photo no: 154130033 180702 046 Orientation: Plan

Description: Projet sur la route principale de reconstruction des ponts des rivières Patates Est et Ouest. Détails du foyer en surface dans l'ouest de la zone 4.

Photo no:154130033 180702 047 Orientation : Est

Description: Projet sur la route principale de reconstruction des ponts des rivières Patates Est et Ouest. Inventaire archéologique. Environnement du foyer et perches de bois en surfaces du sol dans l'ouest de la zone 4.

Photo no: 154130033_180702_048 Orientation: Nord

Description : Projet sur la route principale de reconstruction des ponts des rivières Patates Est et Ouest. Inventaire archéologique. Environnement de la rigole ou canal avec une poutre de bois dans le nord de la zone 4.

Photo no: 154130033 180702 049 Orientation: Nord-Ouest

Description : Projet sur la route principale de reconstruction des ponts des rivières Patates Est et Ouest. Inventaire archéologique. Détails de la rigole ou du canal avec une poutre de bois dans le nord de la zone 4.

Photo no: 154130033_180702_050 **Orientation**: Ouest

Description : Projet sur la route principale de reconstruction des ponts des rivières Patates Est et Ouest. Inventaire archéologique. Environnement de la zone 4 avec le sondage 3.

Photo no: 154130033 180702 051 Orientation: Nord

Description : Projet sur la route principale de reconstruction des ponts des rivières Patates Est et Ouest. Inventaire archéologique. Environnement du sondage test #4 dans la zone 4, près de la rigole ou du canal.

Photo no: 154130033_180702_052 Orientation: Nord

Description : Projet sur la route principale de reconstruction des ponts des rivières Patates Est et Ouest. Inventaire archéologique. Détails de la stratigraphie du sondage test #4 dans la zone 4.

Photo no: 154130033 180702 053 Orientation: Ouest

Description : Projet sur la route principale de reconstruction des ponts des rivières Patates Est et Ouest. Inventaire archéologique. Environnement d'un sondage en paroi, dans le talus d'érosion au nord de la zone 4.

Photo no: 154130033 180702 054 Orientation: Ouest

Description : Projet sur la route principale de reconstruction des ponts des rivières Patates Est et Ouest. Inventaire archéologique. Vue générale de l'ancienne culée de pont en billes de bois, à l'est de la zone 4, à l'approche ouest du pont de la rivière à la Patate Est.

Photo no: 154130033 180702 055 Orientation: Sud-Est

Description: Projet sur la route principale de reconstruction des ponts des rivières Patates Est et Ouest. Inventaire archéologique. Vue rapprochée de l'ancienne culée de pont en billes de bois avec des clous tréfilés, à l'est de la zone 4, à l'approche ouest du pont de la rivière à la Patate Est.

Photo no: 154130033 180702 056 Orientation: Ouest

Description: Projet sur la route principale de reconstruction des ponts des rivières Patates Est et Ouest. Inventaire archéologique. Vue rapprochée de l'ancienne culée de pont en billes de bois avec des clous tréfilés, à l'est de la zone 4, à l'approche ouest du pont de la rivière à la Patate Est.

Photo no: 154130033_180702_057 Orientation: Nord-Ouest

Description : Projet sur la route principale de reconstruction des ponts des rivières Patates Est et Ouest. Inventaire archéologique. Vue générale de l'étançonnement contre l'érosion en sac de béton mis aux abords du pont actuel de la rivière à la patate Est du côté ouest et de l'ancienne culé de pont en bois à l'est de la zone 4.

Photo no:154130033 180702 058 Orientation: Nord

Description : Projet sur la route principale de reconstruction des ponts des rivières Patates Est et Ouest. Inventaire archéologique. Vue générale de l'expertise archéologique (2 par 1 mètre) afin d'identifier une rigole ou petit canal de drainage délimité par des pierres, près du feu et des perches de bois, à l'ouest de la zone 4.

Photo no: 154130033 180702 059 Orientation: Est

Description : Projet sur la route principale de reconstruction des ponts des rivières Patates Est et Ouest. Inventaire archéologique. Vue générale de l'ancien tracé routier au nord de la route actuel, à l'est de la zone 4.

Photo no: 154130033 180702 060 Orientation: Ouest

Description: Projet sur la route principale de reconstruction des ponts des rivières Patates Est et Ouest. Inventaire archéologique. Vue générale de la forte pente au sud de la zone 4.

Photo no:154130033_180703_061 Orientation : Ouest

Description: Projet sur la route principale de reconstruction des ponts des rivières Patates Est et Ouest. Inventaire archéologique. Vue générale du pont de la rivière à la Patate Ouest, à l'ouest de la zone 4.

Photo no: 154130033_180703_062 Orientation: Nord

Description: Projet sur la route principale de reconstruction des ponts des rivières Patates Est et Ouest. Inventaire archéologique. Jérôme Hardy en train de nettoyer le canal de drainage et l'alignement de pierre près du feu dans l'ouest de la zone 4.

Photo no: 154130033 180703 063 Orientation: Plan

Description: Projet sur la route principale de reconstruction des ponts des rivières Patates Est et Ouest. Inventaire archéologique. Vue rapprochée d'un possible alignement de pierres et d'un canal de drainage creusé en terre (0,15m de profond) à l'ouest de la zone 4, près du feu et de l'ancienne route. Daté avec la bouteille de bière entre les années 60 et 80.

Photo no: 154130033 180703 064 Orientation: Plan

Description: Projet sur la route principale de reconstruction des ponts des rivières Patates Est et Ouest. Inventaire archéologique. Vue rapprochée du goulot de bouteille de bière en verre brun daté entre les années 60 et 80 retrouvé dans le sol entre l'alignement de pierres du canal de drainage.

Photo no: 154130033 180702 065 Orientation: Plan

Description: Projet sur la route principale de reconstruction des ponts des rivières Patates Est et Ouest. Inventaire archéologique. Vue rapprochée d'un possible alignement de pierres et d'un canal de drainage creusé en terre à l'ouest de la zone 4.

Photo no: 154130033 180702 066 Orientation: Nord

Description : Projet sur la route principale de reconstruction des ponts des rivières Patates Est et Ouest. Inventaire archéologique. Vue générale d'un possible alignement de pierres et d'un canal de drainage creusé en terre à l'ouest de la zone 4.

Photo no: 154130033 180702 067 Orientation: Sud-Ouest

Description: Projet sur la route principale de reconstruction des ponts des rivières Patates Est et Ouest. Inventaire archéologique. Vue générale de perturbation au nord-ouest de la zone 2.

Photo no: 154130033 180702 068 Orientation: Ouest

Description : Projet sur la route principale de reconstruction des ponts des rivières Patates Est et Ouest. Inventaire archéologique. Environnement très escarpé à l'ouest de la zone 2.

Photo no: 154130033 180703 069 Orientation: Ouest

Description : Projet sur la route principale de reconstruction des ponts des rivières Patates Est et Ouest. Inventaire archéologique. Gros véhicule sur la route principale, zone 2.

Photo no: 154130033_180703_070 Orientation: Nord

Description : Projet sur la route principale de reconstruction des ponts des rivières Patates Est et Ouest. Inventaire archéologique. Petites terrasses de la zone 2.

Photo no: 154130033_180703_071 Orientation: Sud

Description: Projet sur la route principale de reconstruction des ponts des rivières Patates Est et Ouest. Inventaire archéologique. Vue du sondage 10 dans la zone 2.

Photo no: 154130033_180703_072 Orientation : Plan

Description: Projet sur la route principale de reconstruction des ponts des rivières Patates Est et Ouest. Inventaire archéologique. Vue du sondage 11 dans la zone 2.

Photo no: 154130033_180703_073 **Orientation:** Nord-Est

Description: Projet sur la route principale de reconstruction des ponts des rivières Patates Est et Ouest. Inventaire archéologique. Environnement des sondages 13 et 14. Terrasses de 59 m d'altitude, zone 2.

Photo no: 154130033 180703 074 Orientation: Sud-Ouest

Description: Projet sur la route principale de reconstruction des ponts des rivières Patates Est et Ouest. Inventaire archéologique. Environnement escarpé en bordure de route au nord de la zone 2.

Photo no: 154130033 180703 075 Orientation: Sud-Est

Description : Projet sur la route principale de reconstruction des ponts des rivières Patates Est et Ouest. Inventaire archéologique. Vue de la stratigraphie du sondage test#2 dans la zone 2.

Photo no: 154130033 180703 076 Orientation: Ouest

Description : Projet sur la route principale de reconstruction des ponts des rivières Patates Est et Ouest. Inventaire archéologique. Environnement au sud de la zone 1 avec les hautes herbes dans le lit de la rivière.

Photo no: 154130033 180703 073 Orientation: Nord-Est

Description : Projet sur la route principale de reconstruction des ponts des rivières Patates Est et ouest. Inventaire archéologique. Environnement des sondages 13 et 14. Terrasses de 59 m d'altitude, zone 2.

Photo no: 154130033 180703 074 Orientation: Sud-Ouest

Description: Projet sur la route principale de reconstruction des ponts des rivières Patates Est et Ouest. Inventaire archéologique. Environnement escarpé en bordure de route au nord de la zone 2

Photo no: 154130033_180703_075 Orientation: Sud-Est

Description: Projet sur la route principale de reconstruction des ponts des rivières Patates Est et Ouest. Inventaire archéologique. Vue de la stratigraphie du sondage test#2 dans la zone 2.

Photo no: 154130033 180703 076 Orientation: Ouest

Description: Projet sur la route principale de reconstruction des ponts des rivières Patates Est et Ouest. Inventaire archéologique. Environnement au sud-ouest de la zone 2 avec les hautes herbes dans le lit de la rivière.

Photo no: 154130033_180703_077 **Orientation:** Nord-Est

Description : Projet sur la route principale de reconstruction des ponts des rivières Patates Est et Ouest. Inventaire archéologique. Environnement au sud de la zone 2 en terrasses.

Photo no: 154130033 180703 078 Orientation: Nord

Description : Projet sur la route principale de reconstruction des ponts des rivières Patates Est et Ouest. Inventaire archéologique. Environnement en terrasse près des sondages 21 et 22 en bordure de route au sud de la zone 2.

Photo no: 154130033 180703 079 Orientation: Sud-Est

Description: Projet sur la route principale de reconstruction des ponts des rivières Patates Est et Ouest. Inventaire archéologique. Environnement en terrasse près des sondages 24 en bordure de route au sud de la zone 2.

Photo no: 154130033 180703 080 Orientation: Ouest

Description: Projet sur la route principale de reconstruction des ponts des rivières Patates Est et Ouest. Inventaire archéologique. Vue de la stratigraphie du sondage 23 dans la zone 2.

Photo no: 154130033_180703_081 **Orientation:** Nord-Est

Description: Projet sur la route principale de reconstruction des ponts des rivières Patates Est et Ouest. Inventaire archéologique. Environnement et route principale au km 124, à l'est de la zone 2.

Photo no: 154130033_180703_082 **Orientation:** Sud

Description: Projet sur la route principale de reconstruction des ponts des rivières Patates Est et Ouest. Inventaire archéologique. Épave du Wilcox sur le chemin du retour au camp MacDonald.

Photo no: 154130033 180703 083 Orientation: Nord

Description: Projet sur la route principale de reconstruction des ponts des rivières Patates Est et Ouest. Inventaire archéologique. Épave du Wilcox sur le chemin du retour au camp MacDonald.

Photo no: 154130033 180703 084 Orientation: Nord-Ouest

Description: Projet sur la route principale de reconstruction des ponts des rivières Patates Est et Ouest. Inventaire

archéologique. Bâtiments du phare sur le bord du littoral.

Photo no: 154130033 180703 085 **Orientation:** Ouest

Description : Projet sur la route principale de reconstruction des ponts des rivières Patates Est et Ouest. Inventaire archéologique. Terrain du phare sur le bord du littoral.

Photo no: 154130033 180703 086 Orientation: Sud

Description : Projet sur la route principale de reconstruction des ponts des rivières Patates Est et Ouest. Inventaire archéologique. Environnement au sud de la zone 1 près du pont de la rivière à la Patate Ouest.

Photo no: 154130033 180703 087 Orientation: Nord

Description : Projet sur la route principale de reconstruction des ponts des rivières Patates Est et Ouest. Inventaire archéologique. Environnement au nord de la zone 1 près du pont de la rivière à la Patate Ouest où la majorité des sondages ont été réalisés.

Photo no: 154130033_180703_088 Orientation : Sud

Description : Projet sur la route principale de reconstruction des ponts des rivières Patates Est et ouest. Inventaire archéologique. Vue de la stratigraphie du sondage 26, dans la zone 1.

Photo no: 154130033 180703 089 Orientation: Sud-Est

Description: Projet sur la route principale de reconstruction des ponts des rivières Patates Est et Ouest. Inventaire archéologique. Environnement du sondage 27, dans la zone 1.

Photo no: 154130033 180703 090 Orientation: Sud

Description: Projet sur la route principale de reconstruction des ponts des rivières Patates Est et Ouest. Inventaire archéologique. Stratigraphie du sondage 27, dans la zone 1.

Photo no: 154130033 180703 091 Orientation: Sud-Ouest

Description : Projet sur la route principale de reconstruction des ponts des rivières Patates Est et Ouest. Inventaire archéologique. Stratigraphie du sondage 28 montrant les différentes couches de remblais routiers près de la route, dans la zone 1.

Photo no: 154130033_180703_092 Orientation: Nord-Ouest

Description : Projet sur la route principale de reconstruction des ponts des rivières Patates Est et Ouest. Inventaire archéologique. Environnement bouleversé à l'ouest de la zone 1 du côté nord.

Photo no: 154130033_180703_093 Orientation: Nord

Description: Projet sur la route principale de reconstruction des ponts des rivières Patates Est et Ouest. Inventaire archéologique. Vue de la stratigraphie du sondage test#1, dans la zone 1.

Photo no: 154130033_180703_094 **Orientation:** Nord-Est

Description : Projet sur la route principale de reconstruction des ponts des rivières Patates Est et Ouest. Inventaire archéologique. Environnement du sondage test#1, dans la zone 1.

Photo no: 154130033 180703 095 Orientation: Nord

Description: Projet sur la route principale de reconstruction des ponts des rivières Patates Est et Ouest. Inventaire archéologique. Vue de la stratigraphie du sondage test#1, dans la zone 1.

Photo no: 154130033 180703 096 Orientation: Ouest

Description : Projet sur la route principale de reconstruction des ponts des rivières Patates Est et Ouest. Inventaire archéologique. Environnement du sondage 31 dans la zone 1.

Photo no: 154130033 180703 097 Orientation: Sud-Ouest

Description : Projet sur la route principale de reconstruction des ponts des rivières Patates Est et Ouest. Inventaire archéologique. Environnement du sondage 50 dans la zone 2.

Photo no: 154130033_180703_098 Orientation: Sud

Description: Projet sur la route principale de reconstruction des ponts des rivières Patates Est et Ouest. Inventaire archéologique. Environnement montrant le lit mineur de la rivière à la Patate Est.

Photo no: 154130033 180703 099 Orientation: Ouest

Description: Projet sur la route principale de reconstruction des ponts des rivières Patates Est et Ouest. Inventaire archéologique. Talus d'érosion sur le bord sud-ouest de la rivière à la Patate Est, dans la zone 4.

Photo no:154130033 180703 100 Orientation : Sud

Description: Projet sur la route principale de reconstruction des ponts des rivières Patates Est et Ouest. Inventaire archéologique. Environnement et inspection du talus d'érosion dans le secteur en pente, au sud de la zone1.

Photo no: 154130033 180703 101 Orientation : Ouest

Description : Projet sur la route principale de reconstruction des ponts des rivières Patates Est et Ouest. Inventaire archéologique. Environnement et approche du pont de la rivière à la Patate Ouest du côté sud de la zone 1.

Photo no: 154130033 180703 102 Orientation: Nord-Est

Description: Projet sur la route principale de reconstruction des ponts des rivières Patates Est et Ouest. Inventaire archéologique. Environnement montrant le lit mineur de la rivière à la patate Ouest et les sols graveleux dans le sondage 35.

Photo no: 154130033_180703_103 Orientation: Sud-Est

Description: Projet sur la route principale de reconstruction des ponts des rivières Patates Est et Ouest. Inventaire archéologique. Approche est du pont de la rivière à la Patate consolidée par des poches de ciments zone 4.

Photo no: 154130033 180703 104 Orientation: Sud

Description : Projet sur la route principale de reconstruction des ponts des rivières Patates Est et Ouest. Inventaire archéologique. Environnement montrant la limite sud de la zone 1 perturbée.

Photo no:154130033 180703 105 Orientation : Ouest

Description: Projet sur la route principale de reconstruction des ponts des rivières Patates Est et Ouest. Inventaire archéologique. Environnement perturbé à l'ouest du côté sud de la zone 1.

Photo no:154130033_180703_106 Orientation : Nord

Description : Projet sur la route principale de reconstruction des ponts des rivières Patates Est et Ouest. Inventaire archéologique. Environnement montrant la limite nord-est de la zone 1 dans le lit majeur de la rivière.

ANNEXE 4- Notes de terrain Voir dossier électronique